

جغرافیا و آمایش شهری - منطقه‌ای، شماره ۱۸، بهار ۱۳۹۵

وصول مقاله: ۱۳۹۴/۲/۱۷

تأثیرگذاری: ۱۳۹۴/۱۰/۶

صفحات: ۱۵۳ - ۱۶۸

شبیه‌سازی نقش دریای خزر بر وقوع بارش‌های منطقه‌ای در سواحل جنوبی دریای خزر

میثم کارخانه^۱، دکتر عباس مفیدی^۲، دکتر آذر زرین^۳

چکیده

هدف اصلی تحقیق حاضر بررسی نقش دریای خزر در وقوع بارش‌های سواحل جنوبی این دریاست. جهت شبیه‌سازی میزان نقش دریای خزر بر وقوع بارش‌های منطقه‌ای، از مدل اقلیمی مقیاس منطقه‌ای RegCM4 که با یک مدل دریاچه جفت گردیده، استفاده شد. مدل با استفاده از داده‌های جوی NCEP/NCAR و در دو حالت مرجع (وجود دریای خزر) و شرایط حذف دریاچه برای سال‌های ۲۰۰۳ تا ۲۰۰۵ اجرا شد. نتایج شبیه‌سازی بیانگر آن است که با حذف دریای خزر بیشترین میزان تغییر بارش، در سواحل جنوبی این دریا به وقوع می‌پیوندد. حذف دریای خزر سبب کاهش میزان بارش بهویژه در مناطق واقع در محدوده جنوب غرب و جنوب دریا می‌شود. در عین حال، میزان تأثیر دریای خزر بنا به فصل سال متفاوت خواهد بود، بهطوری که بالاترین میزان تأثیر منطقه‌ای دریای خزر به ترتیب در فصول پاییز و زمستان و کمترین میزان آن در فصل بهار مشاهده می‌شود. یافته‌های تحقیق بیانگر آن است که در صورت حذف دریای خزر، به واسطه افزایش کشاورزی، از شدت باد با جهت شمالی بر روی منطقه کاسته خواهد شد. تحلیل وضعیت باد شمالی بر روی دریا می‌بین آن است که میزان نقش و تأثیر منطقه‌ای دریای خزر تابعی از شدت باد بر روی دریا است. بر این اساس، دریای خزر در زمان وقوع بادهای شدیدتر نقش منطقه‌ای بیشتر و گستردگرتری در قیاس با زمان وقوع بادهایی با شدت کمتر دارد. یافته‌ها همچنین بیانگر آن است که با حذف دریای خزر، به واسطه حذف منابع گرمایی و رطوبتی آب دریا، از مقادیر نم ویژه، تغییر از سطح دریا و شارگرمای نهان، به‌طور محسوسی کاسته می‌شود. این فرآیند در نهایت منجر به کاهش بارش در سواحل جنوبی دریای خزر می‌گردد. اعتبار سنجی بارش‌های شبیه‌سازی شده، اریب‌های منفی و مثبت کوچکی را به ترتیب برای ماههای پاییزی و برخی از ماههای بهاری نشان می‌دهد، اما در کل، نتایج قابل قبول بوده و مدل RegCM4 توانسته است روند و مقدار بارش‌های ماهانه را به خوبی شبیه‌سازی نماید.

کلید واژگان: دریای خزر، سواحل جنوبی دریای خزر، بارش، دمای سطح آب دریا، مدل اقلیمی RegCM4، مدل دریاچه.

۱- meysamkarkhaneh@gmail.com

۲- abbasmofidi@um.ac.ir

۳- zarrin@um.ac.ir

۱- کارشناسی ارشد اقلیم شناسی، گروه جغرافیا، دانشگاه فردوسی مشهد

۲- استادیار اقلیم شناسی، گروه جغرافیا، دانشگاه فردوسی مشهد (نویسنده مسؤول)

۳- استادیار اقلیم شناسی، گروه جغرافیا، دانشگاه فردوسی مشهد

پدیدهای جوی و اقلیمی منشأ یافته از برهمکنش جو و دریا، مطالعه اثر دریاها و دریاچه‌ها بر اقلیم منطقه‌ای بسیار دشوار است؛ به همین جهت از اواخر دهه ۱۹۸۰ میلادی، مدل‌های اقلیمی متعددی به منظور شناسایی نحوه برهمکنش هوا و دریا توسعه یافته‌اند تا علاوه بر درک رفتار جو در مقیاس محلی و منطقه‌ای، امکان ارائه پیش‌بینی‌های فصلی را نیز فراهم نمایند. یکی از این مدل‌های اقلیمی، مدل اقلیمی مقیاس منطقه‌ای RegCM است. مدل اقلیمی مقیاس منطقه‌ای RegCM از جمله مدل‌های عددی مرکز بین‌المللی مطالعات فیزیک نظری عبدالسلام (ICTP)^۱ است که در سال‌های اخیر در حکم ابزار توانمندی در مطالعات منطقه‌ای اقلیم مورد توجه بسیاری از محققین علوم جو و قرار گرفته است (پال و همکاران، ۲۰۱۱؛^۲ الگی یوندی و همکاران، ۲۰۰۷؛^۳ ۱۳۹۵؛^۴ ۱۳۷۲؛^۵ علیجانی، ۱۳۸۶؛^۶ مفیدی و همکاران، ۲۰۱۱). مدل فوق قادر است فرآیندهای اقلیمی را با مقیاس‌های زمانی و مکانی مختلف شبیه‌سازی نماید. با توجه به این که مدل RegCM از یک هسته دینامیکی قوی برخوردار بوده و در عین حال قابلیت جفت شدن با مدل‌های متعددی چون مدل دریاچه، مدل غبار و مدل کاربری اراضی را دارد، به همین خاطر، مطالعات متعددی با بهره‌گیری از این مدل اقلیمی در خارج و داخل کشور صورت گرفته که در ذیل به تعدادی از این مطالعات که در راستای تحقیق حاضر هستند، اشاره می‌شود. بوزکورت و لطفی سن^۷ (۲۰۱۱) در مقاله‌ای با استفاده از مدل اقلیمی RegCM تأثیر بالا رفتن دمای دریاهای اطراف ترکیه را به اندازه 2°C بر وقوع بارش‌های این شبه جزیره بررسی نمودند. شبیه‌سازی نشان داد که بارندگی شبه جزیره آناتولی رابطه مستقیم با دمای سطح آب دریاهای اطراف این شبه جزیره دارد، بدین ترتیب که افزایش دمای سطح آب دریاهای اطراف ترکیه به خصوص مدیترانه شرقی باعث افزایش بارندگی در شبه جزیره آناتولی و خود این دریاهای می‌شود. سلطانزاده و همکاران (۱۳۸۶) در راستای شناسایی نقش رشته کوههای زاگرس بر سامانه‌های عبوری از ایران، در یک دوره زمانی

مقدمه

بارش بارزترین عنصر اقلیمی در سواحل جنوبی دریای خزر است. سواحل جنوبی دریای خزر برخلاف سایر مناطق ایران بیشینه بارش سالانه خود را در ابتدای فصل پاییز تجربه می‌نماید (مفیدی و همکاران، ۱۳۸۶؛^۸ ۱۳۲).^۹ موقع بارش‌ها در کرانه‌های جنوبی دریای خزر ناشی از برهمکنش پیچیده عوامل محلی و عوامل مقیاس منطقه‌ای است (مفیدی و همکاران، ۱۳۹۱؛^{۱۰} ۱۷۸). در میان عوامل مؤثر بر بارش‌های خزری، نقش دریای خزر به عنوان بزرگترین پیکره آبی داخل خشکی‌ها غیرقابل انکار است. شکل و فیزیک منحصر به فرد دریای خزر، در کنار گسترش نصف‌النهاری و گستردگی جغرافیایی آن و موقعیت جغرافیایی ایده آل این دریا در ارتباط با سامانه‌های برون حاره، نقش منطقه‌ای و محلی این دریا را از هر پیکره آبی بسته‌ای بیشتر نموده تا بدانجا که می‌توان اقلیم منحصر به فرد سواحل جنوبی دریای خزر را حاصل همسایگی این منطقه با پیکره آبی خزر دانست. از منظر اقلیمی نیز علت بیشینه بارش در سواحل جنوبی دریای خزر نسبت به سایر نواحی اقلیمی ایران به نقش محلی دریای خزر نسبت داده می‌شود (خلیلی، ۱۳۵۰؛^{۱۱} علیجانی، ۱۳۷۲؛^{۱۲} مفیدی و همکاران، ۱۳۸۶؛^{۱۳} ۱۳۹۱؛^{۱۴} ۱۳۹۱؛^{۱۵} ۱۷۸؛^{۱۶} ۱۳۹۱؛^{۱۷} ۱۳۹۱؛^{۱۸} ۱۳۹۱؛^{۱۹} ۱۳۹۱؛^{۲۰} ۱۳۹۱؛^{۲۱} ۱۳۹۱؛^{۲۲} ۱۳۹۱؛^{۲۳} ۱۳۹۱؛^{۲۴} ۱۳۹۱؛^{۲۵} ۱۳۹۱؛^{۲۶} ۱۳۹۱؛^{۲۷} ۱۳۹۱؛^{۲۸} ۱۳۹۱؛^{۲۹} ۱۳۹۱؛^{۳۰} ۱۳۹۱؛^{۳۱} ۱۳۹۱؛^{۳۲} ۱۳۹۱؛^{۳۳} ۱۳۹۱؛^{۳۴} ۱۳۹۱؛^{۳۵} ۱۳۹۱؛^{۳۶} ۱۳۹۱؛^{۳۷} ۱۳۹۱؛^{۳۸} ۱۳۹۱؛^{۳۹} ۱۳۹۱؛^{۴۰} ۱۳۹۱؛^{۴۱} ۱۳۹۱؛^{۴۲} ۱۳۹۱؛^{۴۳} ۱۳۹۱؛^{۴۴} ۱۳۹۱؛^{۴۵} ۱۳۹۱؛^{۴۶} ۱۳۹۱؛^{۴۷} ۱۳۹۱؛^{۴۸} ۱۳۹۱؛^{۴۹} ۱۳۹۱؛^{۵۰} ۱۳۹۱؛^{۵۱} ۱۳۹۱؛^{۵۲} ۱۳۹۱؛^{۵۳} ۱۳۹۱؛^{۵۴} ۱۳۹۱؛^{۵۵} ۱۳۹۱؛^{۵۶} ۱۳۹۱؛^{۵۷} ۱۳۹۱؛^{۵۸} ۱۳۹۱؛^{۵۹} ۱۳۹۱؛^{۶۰} ۱۳۹۱؛^{۶۱} ۱۳۹۱؛^{۶۲} ۱۳۹۱؛^{۶۳} ۱۳۹۱؛^{۶۴} ۱۳۹۱؛^{۶۵} ۱۳۹۱؛^{۶۶} ۱۳۹۱؛^{۶۷} ۱۳۹۱؛^{۶۸} ۱۳۹۱؛^{۶۹} ۱۳۹۱؛^{۷۰} ۱۳۹۱؛^{۷۱} ۱۳۹۱؛^{۷۲} ۱۳۹۱؛^{۷۳} ۱۳۹۱؛^{۷۴} ۱۳۹۱؛^{۷۵} ۱۳۹۱؛^{۷۶} ۱۳۹۱؛^{۷۷} ۱۳۹۱؛^{۷۸} ۱۳۹۱؛^{۷۹} ۱۳۹۱؛^{۸۰} ۱۳۹۱؛^{۸۱} ۱۳۹۱؛^{۸۲} ۱۳۹۱؛^{۸۳} ۱۳۹۱؛^{۸۴} ۱۳۹۱؛^{۸۵} ۱۳۹۱؛^{۸۶} ۱۳۹۱؛^{۸۷} ۱۳۹۱؛^{۸۸} ۱۳۹۱؛^{۸۹} ۱۳۹۱؛^{۹۰} ۱۳۹۱؛^{۹۱} ۱۳۹۱؛^{۹۲} ۱۳۹۱؛^{۹۳} ۱۳۹۱؛^{۹۴} ۱۳۹۱؛^{۹۵} ۱۳۹۱؛^{۹۶} ۱۳۹۱؛^{۹۷} ۱۳۹۱؛^{۹۸} ۱۳۹۱؛^{۹۹} ۱۳۹۱؛^{۱۰۰} ۱۳۹۱؛^{۱۰۱} ۱۳۹۱؛^{۱۰۲} ۱۳۹۱؛^{۱۰۳} ۱۳۹۱؛^{۱۰۴} ۱۳۹۱؛^{۱۰۵} ۱۳۹۱؛^{۱۰۶} ۱۳۹۱؛^{۱۰۷} ۱۳۹۱؛^{۱۰۸} ۱۳۹۱؛^{۱۰۹} ۱۳۹۱؛^{۱۱۰} ۱۳۹۱؛^{۱۱۱} ۱۳۹۱؛^{۱۱۲} ۱۳۹۱؛^{۱۱۳} ۱۳۹۱؛^{۱۱۴} ۱۳۹۱؛^{۱۱۵} ۱۳۹۱؛^{۱۱۶} ۱۳۹۱؛^{۱۱۷} ۱۳۹۱؛^{۱۱۸} ۱۳۹۱؛^{۱۱۹} ۱۳۹۱؛^{۱۲۰} ۱۳۹۱؛^{۱۲۱} ۱۳۹۱؛^{۱۲۲} ۱۳۹۱؛^{۱۲۳} ۱۳۹۱؛^{۱۲۴} ۱۳۹۱؛^{۱۲۵} ۱۳۹۱؛^{۱۲۶} ۱۳۹۱؛^{۱۲۷} ۱۳۹۱؛^{۱۲۸} ۱۳۹۱؛^{۱۲۹} ۱۳۹۱؛^{۱۳۰} ۱۳۹۱؛^{۱۳۱} ۱۳۹۱؛^{۱۳۲} ۱۳۹۱؛^{۱۳۳} ۱۳۹۱؛^{۱۳۴} ۱۳۹۱؛^{۱۳۵} ۱۳۹۱؛^{۱۳۶} ۱۳۹۱؛^{۱۳۷} ۱۳۹۱؛^{۱۳۸} ۱۳۹۱؛^{۱۳۹} ۱۳۹۱؛^{۱۴۰} ۱۳۹۱؛^{۱۴۱} ۱۳۹۱؛^{۱۴۲} ۱۳۹۱؛^{۱۴۳} ۱۳۹۱؛^{۱۴۴} ۱۳۹۱؛^{۱۴۵} ۱۳۹۱؛^{۱۴۶} ۱۳۹۱؛^{۱۴۷} ۱۳۹۱؛^{۱۴۸} ۱۳۹۱؛^{۱۴۹} ۱۳۹۱؛^{۱۵۰} ۱۳۹۱؛^{۱۵۱} ۱۳۹۱؛^{۱۵۲} ۱۳۹۱؛^{۱۵۳} ۱۳۹۱؛^{۱۵۴} ۱۳۹۱؛^{۱۵۵} ۱۳۹۱؛^{۱۵۶} ۱۳۹۱؛^{۱۵۷} ۱۳۹۱؛^{۱۵۸} ۱۳۹۱؛^{۱۵۹} ۱۳۹۱؛^{۱۶۰} ۱۳۹۱؛^{۱۶۱} ۱۳۹۱؛^{۱۶۲} ۱۳۹۱؛^{۱۶۳} ۱۳۹۱؛^{۱۶۴} ۱۳۹۱؛^{۱۶۵} ۱۳۹۱؛^{۱۶۶} ۱۳۹۱؛^{۱۶۷} ۱۳۹۱؛^{۱۶۸} ۱۳۹۱؛^{۱۶۹} ۱۳۹۱؛^{۱۷۰} ۱۳۹۱؛^{۱۷۱} ۱۳۹۱؛^{۱۷۲} ۱۳۹۱؛^{۱۷۳} ۱۳۹۱؛^{۱۷۴} ۱۳۹۱؛^{۱۷۵} ۱۳۹۱؛^{۱۷۶} ۱۳۹۱؛^{۱۷۷} ۱۳۹۱؛^{۱۷۸} ۱۳۹۱؛^{۱۷۹} ۱۳۹۱؛^{۱۸۰} ۱۳۹۱؛^{۱۸۱} ۱۳۹۱؛^{۱۸۲} ۱۳۹۱؛^{۱۸۳} ۱۳۹۱؛^{۱۸۴} ۱۳۹۱؛^{۱۸۵} ۱۳۹۱؛^{۱۸۶} ۱۳۹۱؛^{۱۸۷} ۱۳۹۱؛^{۱۸۸} ۱۳۹۱؛^{۱۸۹} ۱۳۹۱؛^{۱۹۰} ۱۳۹۱؛^{۱۹۱} ۱۳۹۱؛^{۱۹۲} ۱۳۹۱؛^{۱۹۳} ۱۳۹۱؛^{۱۹۴} ۱۳۹۱؛^{۱۹۵} ۱۳۹۱؛^{۱۹۶} ۱۳۹۱؛^{۱۹۷} ۱۳۹۱؛^{۱۹۸} ۱۳۹۱؛^{۱۹۹} ۱۳۹۱؛^{۲۰۰} ۱۳۹۱؛^{۲۰۱} ۱۳۹۱؛^{۲۰۲} ۱۳۹۱؛^{۲۰۳} ۱۳۹۱؛^{۲۰۴} ۱۳۹۱؛^{۲۰۵} ۱۳۹۱؛^{۲۰۶} ۱۳۹۱؛^{۲۰۷} ۱۳۹۱؛^{۲۰۸} ۱۳۹۱؛^{۲۰۹} ۱۳۹۱؛^{۲۱۰} ۱۳۹۱؛^{۲۱۱} ۱۳۹۱؛^{۲۱۲} ۱۳۹۱؛^{۲۱۳} ۱۳۹۱؛^{۲۱۴} ۱۳۹۱؛^{۲۱۵} ۱۳۹۱؛^{۲۱۶} ۱۳۹۱؛^{۲۱۷} ۱۳۹۱؛^{۲۱۸} ۱۳۹۱؛^{۲۱۹} ۱۳۹۱؛^{۲۲۰} ۱۳۹۱؛^{۲۲۱} ۱۳۹۱؛^{۲۲۲} ۱۳۹۱؛^{۲۲۳} ۱۳۹۱؛^{۲۲۴} ۱۳۹۱؛^{۲۲۵} ۱۳۹۱؛^{۲۲۶} ۱۳۹۱؛^{۲۲۷} ۱۳۹۱؛^{۲۲۸} ۱۳۹۱؛^{۲۲۹} ۱۳۹۱؛^{۲۳۰} ۱۳۹۱؛^{۲۳۱} ۱۳۹۱؛^{۲۳۲} ۱۳۹۱؛^{۲۳۳} ۱۳۹۱؛^{۲۳۴} ۱۳۹۱؛^{۲۳۵} ۱۳۹۱؛^{۲۳۶} ۱۳۹۱؛^{۲۳۷} ۱۳۹۱؛^{۲۳۸} ۱۳۹۱؛^{۲۳۹} ۱۳۹۱؛^{۲۴۰} ۱۳۹۱؛^{۲۴۱} ۱۳۹۱؛^{۲۴۲} ۱۳۹۱؛^{۲۴۳} ۱۳۹۱؛^{۲۴۴} ۱۳۹۱؛^{۲۴۵} ۱۳۹۱؛^{۲۴۶} ۱۳۹۱؛^{۲۴۷} ۱۳۹۱؛^{۲۴۸} ۱۳۹۱؛^{۲۴۹} ۱۳۹۱؛^{۲۵۰} ۱۳۹۱؛^{۲۵۱} ۱۳۹۱؛^{۲۵۲} ۱۳۹۱؛^{۲۵۳} ۱۳۹۱؛^{۲۵۴} ۱۳۹۱؛^{۲۵۵} ۱۳۹۱؛^{۲۵۶} ۱۳۹۱؛^{۲۵۷} ۱۳۹۱؛^{۲۵۸} ۱۳۹۱؛^{۲۵۹} ۱۳۹۱؛^{۲۶۰} ۱۳۹۱؛^{۲۶۱} ۱۳۹۱؛^{۲۶۲} ۱۳۹۱؛^{۲۶۳} ۱۳۹۱؛^{۲۶۴} ۱۳۹۱؛^{۲۶۵} ۱۳۹۱؛^{۲۶۶} ۱۳۹۱؛^{۲۶۷} ۱۳۹۱؛^{۲۶۸} ۱۳۹۱؛^{۲۶۹} ۱۳۹۱؛^{۲۷۰} ۱۳۹۱؛^{۲۷۱} ۱۳۹۱؛^{۲۷۲} ۱۳۹۱؛^{۲۷۳} ۱۳۹۱؛^{۲۷۴} ۱۳۹۱؛^{۲۷۵} ۱۳۹۱؛^{۲۷۶} ۱۳۹۱؛^{۲۷۷} ۱۳۹۱؛^{۲۷۸} ۱۳۹۱؛^{۲۷۹} ۱۳۹۱؛^{۲۸۰} ۱۳۹۱؛^{۲۸۱} ۱۳۹۱؛^{۲۸۲} ۱۳۹۱؛^{۲۸۳} ۱۳۹۱؛^{۲۸۴} ۱۳۹۱؛^{۲۸۵} ۱۳۹۱؛^{۲۸۶} ۱۳۹۱؛^{۲۸۷} ۱۳۹۱؛^{۲۸۸} ۱۳۹۱؛^{۲۸۹} ۱۳۹۱؛^{۲۹۰} ۱۳۹۱؛^{۲۹۱} ۱۳۹۱؛^{۲۹۲} ۱۳۹۱؛^{۲۹۳} ۱۳۹۱؛^{۲۹۴} ۱۳۹۱؛^{۲۹۵} ۱۳۹۱؛^{۲۹۶} ۱۳۹۱؛^{۲۹۷} ۱۳۹۱؛^{۲۹۸} ۱۳۹۱؛^{۲۹۹} ۱۳۹۱؛^{۳۰۰} ۱۳۹۱؛^{۳۰۱} ۱۳۹۱؛^{۳۰۲} ۱۳۹۱؛^{۳۰۳} ۱۳۹۱؛^{۳۰۴} ۱۳۹۱؛^{۳۰۵} ۱۳۹۱؛^{۳۰۶} ۱۳۹۱؛^{۳۰۷} ۱۳۹۱؛^{۳۰۸} ۱۳۹۱؛^{۳۰۹} ۱۳۹۱؛^{۳۱۰} ۱۳۹۱؛^{۳۱۱} ۱۳۹۱؛^{۳۱۲} ۱۳۹۱؛^{۳۱۳} ۱۳۹۱؛^{۳۱۴} ۱۳۹۱؛^{۳۱۵} ۱۳۹۱؛^{۳۱۶} ۱۳۹۱؛^{۳۱۷} ۱۳۹۱؛^{۳۱۸} ۱۳۹۱؛^{۳۱۹} ۱۳۹۱؛^{۳۲۰} ۱۳۹۱؛^{۳۲۱} ۱۳۹۱؛^{۳۲۲} ۱۳۹۱؛^{۳۲۳} ۱۳۹۱؛^{۳۲۴} ۱۳۹۱؛^{۳۲۵} ۱۳۹۱؛^{۳۲۶} ۱۳۹۱؛^{۳۲۷} ۱۳۹۱؛^{۳۲۸} ۱۳۹۱؛^{۳۲۹} ۱۳۹۱؛^{۳۳۰} ۱۳۹۱؛^{۳۳۱} ۱۳۹۱؛^{۳۳۲} ۱۳۹۱؛^{۳۳۳} ۱۳۹۱؛^{۳۳۴} ۱۳۹۱؛^{۳۳۵} ۱۳۹۱؛^{۳۳۶} ۱۳۹۱؛^{۳۳۷} ۱۳۹۱؛^{۳۳۸} ۱۳۹۱؛^{۳۳۹} ۱۳۹۱؛^{۳۴۰} ۱۳۹۱؛^{۳۴۱} ۱۳۹۱؛^{۳۴۲} ۱۳۹۱؛^{۳۴۳} ۱۳۹۱؛^{۳۴۴} ۱۳۹۱؛^{۳۴۵} ۱۳۹۱؛^{۳۴۶} ۱۳۹۱؛^{۳۴۷} ۱۳۹۱؛^{۳۴۸} ۱۳۹۱؛^{۳۴۹} ۱۳۹۱؛^{۳۵۰} ۱۳۹۱؛^{۳۵۱} ۱۳۹۱؛^{۳۵۲} ۱۳۹۱؛^{۳۵۳} ۱۳۹۱؛^{۳۵۴} ۱۳۹۱؛^{۳۵۵} ۱۳۹۱؛^{۳۵۶} ۱۳۹۱؛^{۳۵۷} ۱۳۹۱؛^{۳۵۸} ۱۳۹۱؛^{۳۵۹} ۱۳۹۱؛^{۳۶۰} ۱۳۹۱؛^{۳۶۱} ۱۳۹۱؛^{۳۶۲} ۱۳۹۱؛^{۳۶۳} ۱۳۹۱؛^{۳۶۴} ۱۳۹۱؛^{۳۶۵} ۱۳۹۱؛^{۳۶۶} ۱۳۹۱؛^{۳۶۷} ۱۳۹۱؛^{۳۶۸} ۱۳۹۱؛^{۳۶۹} ۱۳۹۱؛^{۳۷۰} ۱۳۹۱؛^{۳۷۱} ۱۳۹۱؛^{۳۷۲} ۱۳۹۱؛^{۳۷۳} ۱۳۹۱؛^{۳۷۴} ۱۳۹۱؛^{۳۷۵} ۱۳۹۱؛^{۳۷۶} ۱۳۹۱؛^{۳۷۷} ۱۳۹۱؛^{۳۷۸} ۱۳۹۱؛^{۳۷۹} ۱۳۹۱؛^{۳۸۰} ۱۳۹۱؛^{۳۸۱} ۱۳۹۱؛^{۳۸۲} ۱۳۹۱؛^{۳۸۳} ۱۳۹۱؛^{۳۸۴} ۱۳۹۱؛^{۳۸۵} ۱۳۹۱؛^{۳۸۶} ۱۳۹۱؛^{۳۸۷} ۱۳۹۱؛^{۳۸۸} ۱۳۹۱؛^{۳۸۹} ۱۳۹۱؛^{۳۹۰} ۱۳۹۱؛^{۳۹۱} ۱۳۹۱؛^{۳۹۲} ۱۳۹۱؛^{۳۹۳} ۱۳۹۱؛^{۳۹۴} ۱۳۹۱؛^{۳۹۵} ۱۳۹۱؛^{۳۹۶} ۱۳۹۱؛^{۳۹۷} ۱۳۹۱؛^{۳۹۸} ۱۳۹۱؛^{۳۹۹} ۱۳۹۱؛^{۴۰۰} ۱۳۹۱؛^{۴۰۱} ۱۳۹۱؛^{۴۰۲} ۱۳۹۱؛^{۴۰۳} ۱۳۹۱؛^{۴۰۴} ۱۳۹۱؛^{۴۰۵} ۱۳۹۱؛^{۴۰۶} ۱۳۹۱؛^{۴۰۷} ۱۳۹۱؛^{۴۰۸} ۱۳۹۱؛^{۴۰۹} ۱۳۹۱؛^{۴۱۰} ۱۳۹۱؛^{۴۱۱} ۱۳۹۱؛^{۴۱۲} ۱۳۹۱؛^{۴۱۳} ۱۳۹۱؛^{۴۱۴} ۱۳۹۱؛^{۴۱۵} ۱۳۹۱؛^{۴۱۶} ۱۳۹۱؛^{۴۱۷} ۱۳۹۱؛^{۴۱۸} ۱۳۹۱؛^{۴۱۹} ۱۳۹۱؛^{۴۲۰} ۱۳۹۱؛^{۴۲۱} ۱۳۹۱؛^{۴۲۲} ۱۳۹۱؛^{۴۲۳} ۱۳۹۱؛^{۴۲۴} ۱۳۹۱؛^{۴۲۵} ۱۳۹۱؛^{۴۲۶} ۱۳۹۱؛^{۴۲۷} ۱۳۹۱؛^{۴۲۸} ۱۳۹۱؛^{۴۲۹} ۱۳۹۱؛^{۴۳۰} ۱۳۹۱؛^{۴۳۱} ۱۳۹۱؛^{۴۳۲} ۱۳۹۱؛^{۴۳۳} ۱۳۹۱؛^{۴۳۴} ۱۳۹۱؛^{۴۳۵} ۱۳۹۱؛^{۴۳۶} ۱۳۹۱؛^{۴۳۷} ۱۳۹۱؛^{۴۳۸} ۱۳۹۱؛^{۴۳۹} ۱۳۹۱؛^{۴۴۰} ۱۳۹۱؛

نیز دارد (واوروس و همکاران، ۲۰۱۳؛ نوتارو و همکاران، ۲۰۱۳b؛ ۷۸۹: ۲۰۱۳a)، مطالعه نقش دریای خزر بر موقع بارش‌های منطقه خزری را به نحو مطلوب‌تری به انجام رساند. از این رو هدف اصلی تحقیق حاضر آن است که در یک شبیه‌سازی دینامیکی و با انجام ریزگردانی مناسب، نقش دریای خزر را در موقع بارش‌های منطقه خزری به‌طور دقیق مورد مطالعه قرار دهد. در عین حال پژوهش حاضر سعی دارد به این پرسش نیز پاسخ گوید که «مدل اقلیمی مقیاس منطقه‌ای RegCM4 در پیوند با یک مدل دریاچه به چه میزان می‌تواند در شناسایی نقش دریای خزر بر بارش‌های سواحل جنوبی آن کارایی داشته باشد؟»

مواد و روش‌ها

بررسی نقش دریای خزر در موقع بارش‌های سواحل جنوبی این دریا با استفاده از مدل اقلیمی مقیاس منطقه‌ای RegCM4 به انجام رسید. در این مطالعه با توجه به هدف اصلی و سؤالات تحقیق داده‌های زیر مورد استفاده قرار گرفت و مراحل زیر در نظر گرفته شد:

- داده‌ها

داده‌های مورد استفاده در این تحقیق به دو بخش اصلی شامل داده‌های ایستگاهی و داده‌های مدل تقسیم می‌شود:

✓ داده‌های ایستگاهی

برای انجام مطالعات توصیفی اولیه، داده‌های بارش ایستگاههای سینوپتیک سازمان هواشناسی کشور در مقیاس روزانه و ماهانه در یک دوره ده ساله (۲۰۰۵-۱۹۹۶) مورد بررسی قرار گرفت (جدول ۱).

✓ داده‌های مورد استفاده در بخش مدلسازی

داده‌های ورودی در مقیاس جهانی

داده‌های شرایط مرزی ثانویه شامل داده‌های جوی NCEP/NCAR با قدرت تفکیک افقی ۲/۵ درجه است که در مقیاس زمانی ۶ ساعته برای سال‌های ۲۰۰۳ تا ۲۰۰۵ مورد استفاده قرار گرفته است (کالنی و همکاران، ۱۹۹۶: ۴۳۷). این داده‌ها شامل: ارتفاع ژئوپتانسیل، مؤلفه مداری باد (U)، مؤلفه نصف النهاری باد (V)، دمای هوا و سرعت

شبیه‌سازی نقش دریای خزر بر موقع بارش‌های منطقه‌ای در سواحل

سه ماهه حساسیت مدل RegCM3 را مورد آزمون قرار دادند. در شبیه‌سازی انجام شده، محققان مدل را در وضعیت با رشتہ کوه و بدون آن اجرا نمودند و دریافتند که با حذف رشتہ کوههای زاگرس، میزان بارش در مناطق مرکزی و شرقی ایران افزایش پیدا می‌کند، ولی بارش در کل محدوده شبیه‌سازی شده تقریباً ثابت می‌ماند. باباییان و همکاران (۱۳۸۶) با بررسی حساسیت مدل RegCM3 نسبت به طرحواره‌های مختلف بارش همرفتی از جمله گرل، کو و امانوئل دریافتند که طرحواره گرل در مقایسه با دو طرحواره دیگر توانمندی خوبی برای شبیه‌سازی بارش در کل کشور دارد. در طی چند دهه گذشته مطالعات بی‌شماری سازوکار موقع بارش‌های خزری را مورد بررسی قرار داده‌اند و تئوری‌های متعدد و متفاوتی در رابطه با نحوه موقع بارش‌های خزری ارائه گردیده است (خلیلی، ۱۳۵۰: ۳۹؛ قشقایی، ۱۳۷۵: ۲۰؛ علیجانی، ۱۳۷۲: ۸۶؛ خوشحال دستجردی، ۱۳۷۶: ۳۰؛ یوسفی، ۱۳۸۲: ۱۵؛ مرادی، ۱۳۸۳: ۷۷؛ مفیدی و همکاران، ۱۳۸۶: ۱۷۸؛ ۱۳۹۱: ۱۳۲)، اما علیرغم تمامی مطالعات انجام شده، هنوز به این پرسش کلیدی که «نقش دریای خزر در موقع بارش‌های سواحل جنوبی آن چیست؟» پاسخی جامع داده نشده است. به نظر می‌رسد مهمترین مسئله در تبیین نقش دریای خزر بر بارش سواحل جنوبی و به‌طور کلی بر اقلیم منطقه‌ای، نبود داده‌های مناسب از شرایط فیزیکی دریای خزر و به تبع آن نبود امکان آشکارسازی نحوه برهمکنش جو و دریا در مقیاس‌های منطقه‌ای و محلی است؛ بنابراین، این نیاز وجود دارد که نقش دریای خزر به عنوان یک پیکره آبی بزرگ بر موقع بارش‌های سواحل جنوبی آن با انجام شبیه‌سازی‌های دینامیکی و ریزگردانی داده‌ها مشخص گردد. از آنجایی که در مطالعات اقلیمی ایران هنوز نقش دریای خزر در موقع بارش‌های خزری یک بحث باز تلقی می‌گردد، در این راستا تحقیق حاضر بر آن است با بهره گیری از طرحواره‌های همرفتی و دینامیکی و با استفاده از نسخه‌ای جدید از مدل اقلیمی مقیاس منطقه‌ای RegCM که امکان جفت شدن با یک مدل دریاچه تکامل یافته را

جغرافیا و آمیش شهری- منطقه‌ای، سال ششم، شماره ۱۸، بهار ۱۳۹۵

بین‌المللی فیزیک نظری عبدالسلام گرفته شد.

داده‌های خروجی مدل

پس از اجرای مدل، داده‌های خروجی با فرمت NetCDF و برای دوره زمانی سه ساله (۲۰۰۳ تا ۲۰۰۵) در قالب سه دسته فایل اصلی به شرح زیر مورد استفاده قرار گرفت:

- داده‌های خروجی جوی: مؤلفه مداری باد، مؤلفه نصف النهاری باد، دمای هوای امگا، نم ویژه، نسبت آمیزه بخار آب ابر در ۱۸ تراز فشاری، فشار سطحی، مجموع بارش، دمای سطحی، رطوبت خاک و رواناب که مجموع این داده‌ها دارای قدرت تفکیک افقی ۲۰ کیلومتر و در بازه زمانی ۶ ساعته هستند.

قائم برای ۱۷ تراز فشاری و فشار سطحی و همچنین رطوبت نسبی برای ۸ تراز است. داده‌های شرایط مرزی اولیه (داده‌های سطحی) مورد استفاده در این تحقیق، شامل داده‌های توپوگرافی، عمق آب دریاها و دریاچه‌ها، داده‌های کاربری اراضی، رطوبت و بافت خاک است که با قدرت تفکیک افقی ۳۰ ثانیه توسط سازمان زمین‌شناسی آمریکا (USGS) تهیه گردیده است. علاوه بر آن داده‌های دمای سطح آب دریا (SST) اخذ شده از اداره ملی جو و اقیانوس آمریکا (NOAA) به صورت هفتگی و با قدرت تفکیک افقی ۱ درجه (رینولدز و همکاران، ۲۰۰۲: ۱۶۱۰) به عنوان داده‌های ورودی برای اجرای مدل مورد استفاده قرار گرفت. تمامی داده‌های فوق از پایگاه داده مرکز

جدول ۱. نام و موقعیت ایستگاه‌های سینوپتیک سواحل جنوبی دریای خزر

ایستگاه	عرض جغرافیایی	طول جغرافیایی	آستانه	انزلی	رشت	رامسر	نوشهر	بابلسر	قائم شهر	گرگان
۳۸°-۲۵'	۳۷°-۲۸'	۴۸°-۵۲'	۴۹°-۳۹'	۵۰°-۴۰'	۳۶°-۵۴'	۳۶°-۳۹'	۳۶°-۴۳'	۳۶°-۲۷'	۳۶°-۵۱'	۵۴°-۱۶'
۴۹°-۲۸'	۴۹°-۳۹'	۵۰°-۴۰'	۵۱°-۳۰'	۵۲°-۳۹'	۵۲°-۵۳'	۵۲°-۵۳'	۳۶°-۴۳'	۳۶°-۲۷'	۳۶°-۵۱'	۳۶°-۵۱'

روش‌ها

✓ مراحل انجام مدل‌سازی

هدف از مدل سازی رقومی مشخص کردن نقش دریای خزر در موقع بارش‌های سواحل جنوبی آن و ارزیابی توانایی مدل در شبیه‌سازی نقش این دریا است. در این راستا از مدل اقلیمی مقیاس منطقه‌ای RegCM4.1 که با یک مدل دریاچه جفت شده، استفاده شد (گیورگی و همکاران، ۲۰۱۲: ۸). برای این منظور ابتدا داده‌های بارش ایستگاهی و داده‌های شبکه‌بندی شده جوی در یک دوره زمانی ده ساله (۱۹۹۶-۲۰۰۵) جهت تعیین سال یا سال‌های نمونه مورد پردازش قرار گرفت. با توجه به این که جریان باد با جهت شمالی بر روی دریای خزر نقش ویژه‌ای در بارش‌های سواحل جنوبی آن دارد (خلیلی، ۱۳۵۰؛ ۱۳۵۹؛ علیجانی، ۱۳۷۲؛ ۱۳۸۶؛ براتی و عاشوری، ۱۳۸۶؛ مفیدی و همکاران ۱۳۸۶: ۱۳۲) و همچنین از آنجایی که ساختار و خصوصیات باد بر روی دریا نقش ویژه‌ای در بر همکنش جو و دریا ایفا می‌کند؛ وضعیت متوسط روزانه مؤلفه باد نصف‌النهاری در تراز ۱۰۰۰ هکتوپاسکال بر روی دریای خزر و مجموع بارش‌های

- داده‌های خروجی مدل دریاچه: این داده‌ها شامل فشار سطح زمین، دما در سطح زمین، مجموع بارش، بارش برف، شارگرمای محسوس، شارخالص انرژی مادون قرمز، شار انرژی جذب شده خورشیدی، آلبدوی سطحی، شارموج بلند پایین سو، تابش مستقیم موج کوتاه خورشیدی، آلبدوی سطحی انتشار یافته، تابش موج کوتاه خورشیدی، میزان تبخیر، ضخامت یخ شناور، ضخامت برف و دمای سطح آب دریا است. داده‌ها دارای قدرت تفکیک افقی ۲۰ کیلومتر و در بازه زمانی روزانه تولید گردید.

- داده‌های خروجی سطحی: این داده‌ها شامل دمای سطحی زمین، دما در ارتفاع ۲ متری، نم ویژه ۲ متری، بارش، تبخیر و تعرق، رواناب سطحی، بارش برف، شارگرمای محسوس در سطح، انرژی جذب شده خورشیدی، بارش همرفتی، حداکثر و حداقل دما در سطح، حداکثر و حداقل دما در ارتفاع ۲ متری، حداکثر سرعت باد در ارتفاع ۱۰ متری از سطح زمین، کمترین فشار سطحی، آلبدوی سطحی تابش مستقیم موج کوتاه خورشیدی، آلبدوی سطحی انتشار یافته و تابش موج کوتاه خورشیدی است. داده‌ها از قدرت تفکیک افقی ۲۰ کیلومتر و بازه زمانی ۶ ساعته برخوردار هستند.

بنابراین، از مدل جوی RegCM4 جفت شده با یک مدل دریاچه که بتواند شرایط برهمکنش جو و دریاچه را شبیه سازی کند، استفاده شده است. مدل در وهله اول اصطلاحاً در حالت «کنترل» یا «در شرایط مرجع» به اجرا در آمد. در این مرحله مدل RegCM4.1 به گونه‌ای با مدل دریاچه جفت گردید که تمامی شرایط سطحی، از جمله پوشش سطح زمین (Land Cover)، شکل طبیعی و اولیه خود را حفظ نماید. شکل ۱-۲ محدوده در نظر گرفته شده به همراه نقشه پوشش سطحی را در اجرای مرجع نشان می‌دهد. برای محاسبه شارهای سطحی گرما، رطوبت و تکانه، مدل دریاچه به شکل برهمکنشی می‌زنند؛ بنابراین، بر اساس بررسی شرایط بارشی و مؤلفه باد نصف‌النهاری و همچنین با در نظر گرفتن افزایش میزان دقت و صحت داده‌های جدیدتر، در نهایت سه سال ۲۰۰۳، ۲۰۰۴ و ۲۰۰۵ که شرایط مناسبی از نظر الگوی گردشی جو در ترازهای زیرین داشته و در عین حال از شرایط بارشی مناسبی برخوردار بوده‌اند، برای انجام (Interactive) با مدل RegCM4.1 جفت گردیده است. این مدل نسخه تصحیح شده و تکامل یافته از مدل دریاچه یک بُعدی در شرایط موازنه انرژی، توسعه یافته توسط هاستتلر و بارتلین (Bartlein et al., 1990) محسوب می‌گردد. در مدل دریاچه، شارهای گرما، رطوبت و تکانه بر اساس داده‌های ورودی هواشناسی و دمای سطح دریاچه و آبدو محاسبه می‌شوند (شکل ۲). در این مدل گرما به‌طور عمودی از طریق تلاطم و اختلاط همرفتی بین لایه‌های مدل دریاچه منتقل می‌گردد (هاستتلر و همکاران، 1993؛ ایسمال و همکاران، 1999؛ ۶۵۸۳: ۵۰۴۵). مدل در شرایط مرجع برای سال‌های ۲۰۰۳، ۲۰۰۴ و ۲۰۰۵ به اجرا درآمد.

اجرای مدل در شرایط حذف دریاچه

در این مرحله، مدل RegCM4.1 پس از حذف دریای خزر از داده‌های پوشش سطحی (شکل ۱-۳)، با مدل دریاچه جفت گردیده است. لازم به توضیح است که در مدل‌های دینامیکی و در فرایند شبیه‌سازی، این امکان وجود دارد که برای درک میزان نقش و اثر یک پدیده خاص بر کل فرایندهای جوی در حال وقوع، آن پدیده را از داده‌های ورودی حذف و یا بر اساس هدف تحقیق اصلاح نموده و سپس با حفظ سایر شرایط به مدل اجازه دهیم که معادلات دینامیکی خود را در قالب طرحواره‌های مختلف بر روی داده‌های ورودی اعمال نماید. بر این اساس، در اجرای دوم مدل که یک اجرای شبیه‌سازی محسوب می‌گردد، پیکرهٔ دریای خزر از داده‌های پوشش سطحی

شبیه‌سازی نقش دریای خزر بر وقوع بارش‌های منطقه‌ای در سواحل

روزانه در سواحل جنوبی دریا در دوره ده ساله مورد بررسی قرار گرفت. با در نظر گرفتن این نکته که داده‌های مورد استفاده در شبیه‌سازی هر چقدر از نظر زمانی نزدیک‌تر به زمان حاضر باشند، از کیفیت و دقت بیشتری برخوردارند و درصد بیشتری از واقعیت‌های محیطی زمان حال از نظر تغییر اقلیم و تغییرات زیست محیطی را نشان می‌دهند؛ بنابراین، بر اساس بررسی شرایط بارشی و مؤلفه باد نصف‌النهاری و همچنین با در نظر گرفتن افزایش میزان دقت و صحت داده‌های جدیدتر، در نهایت سه سال ۲۰۰۳، ۲۰۰۴ و ۲۰۰۵ که شرایط مناسبی از نظر الگوی گردشی جو در ترازهای زیرین داشته و در عین حال از شرایط بارشی مناسبی برخوردار بوده‌اند، برای انجام شبیه‌سازی و اجرای مدل در نظر گرفته شد.

✓ توصیف تجربه

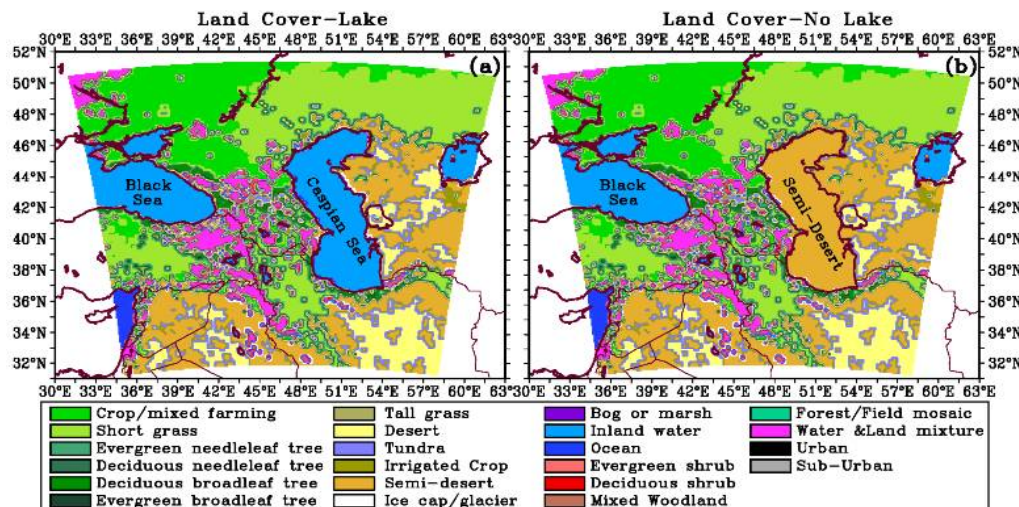
در این تحقیق مدل RegCM4.1 با تعداد ۱۱۰ گام شبکه در راستای عرض جغرافیایی، ۱۱۲ گام شبکه در راستای طول جغرافیایی و ۱۸ تراز در راستای قائم در دستگاه سیگما که بالاترین تراز به‌طور پیش فرض دارای فشار ۵ میلی بار بوده، اجرا شد. عرض مرکزی 30° شمالی و طول مرکزی 46° شرقی در نظر گرفته شد و برای آن که مدل بتواند جزئیات بیشتری را با قدرت تفکیک بالاتر نشان دهد، قدرت تفکیک افقی ۲۰ کیلومتر انتخاب گردید. سیستم تصویر انتخابی، سیستم تصویر لامبرت است که برای عرض‌های میانه مناسب است. برای آن که مدل بتواند با ویژگی‌های دریاچه به خوبی تطبیق پیدا کند، زمان شروع اجرای مدل از دوره گرم سال و از ابتدای ماه سپتامبر در نظر گرفته شد که بدین ترتیب یک دوره تطبیق (Spin-up) ۴ ماهه برای اجرای مدل لحاظ گردید. گام زمانی داده‌های خروجی برای داده‌های جوی و داده‌های سطحی ۶ ساعت و برای داده‌های دریاچه ۲۴ ساعت در نظر گرفته شد. در اجرای مدل از طرحواره‌های کومولوس، طرحواره همرفت آرکاوا-شوبرت و طرحواره بارش بزرگ مقیاس استفاده شد.

اجرای مدل در شرایط مرجع

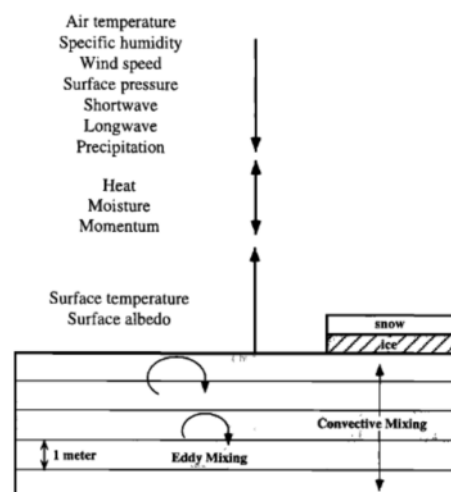
از آنجایی که هدف از انجام تحقیق حاضر بررسی نقش دریای خزر در وقوع بارش‌های منطقه خزری است؛

جغرافیا و آمیش شهری- منطقه‌ای، سال ششم، شماره ۱۸، بهار ۱۳۹۵

ورودی که شامل توپوگرافی، نوع پوشش سطح زمین، دمای سطح دریا، داده‌های جوی و دیگر متغیرهاست، برای منطقه مورد نظر با قدرت تفکیک افقی و عمودی مورد درخواست بُرش خورده و تولید می‌گردند. در اجرای شبیه‌سازی، پس از این مرحله، پوشش سطحی واقعی دریای خزر با پوشش سطحی نیمه بیابانی جایگزین گردید. علت انتخاب سرزمین‌های نیمه بیابانی نیز به خاطر همخوانی با پوشش سرزمین‌های اطراف دریاچه به خصوص شرق دریای خزر است (شکل ۱-۶). بدین ترتیب مدل یکبار دیگر در شرایط حذف دریای خزر به اجرا در آمد. در اجرای شبیه‌سازی نیز مدل برای سال‌های ۲۰۰۴، ۲۰۰۵ اجرا شد.



شکل ۱: محدوده مورد مطالعه همواه با اطلاعات پوشش سطحی با تفکیک افقی ۲۰ کیلومتر. (a) پوشش سطحی در اجرای مرجع (با دریاچه). (b) پوشش سطحی در شرایط حذف دریاچه. راهنمای نقشه نام و رنگ اختصاص یافته به هر یک از پوشش‌های سطح زمین را نشان می‌دهد.
(منبع: نگارندگان)



شکل ۲: تصویری شماتیک از مدل دریاچه
(منبع: اسمال و همکاران، ۱۹۹۹).

ورودی حذف گردیده و به جای آن یک پوشش نیمه بیابانی جایگزین گردید (شکل ۱-۶). بدین ترتیب در اجرای شبیه‌سازی، معادلات و طرحواره‌های مدل، پوشش سطحی نیمه بیابانی را برای محاسبات خود لحاظ نموده‌اند. نحوه انجام شبیه‌سازی به شرح زیر است: قبل از اجرای مدل، دو مرحله پیش پردازش وجود دارد که انجام آن ضروری است. اولین مرحله، فراهم آوردن و آماده سازی داده‌های ورودی مدل، شامل برش داده‌های جهانی اعم از داده‌های توپوگرافی، پوشش سطحی، دمای سطح آب دریا، داده‌های جوی از نظر مکانی و زمانی و تعیین محدوده اصلی مورد درخواست برای اجرای مدل است. بدین ترتیب با اجرای مرحله اول، فایل‌های بخش

همچنین ساختار فیزیکی و ترمودینامیکی دریای خزر در زمان تسلط بادهای شمالی بر روی آن را به نمایش می‌گذارد. برای بهتر نشان دادن نقش دریای خزر، تمامی نقشه‌ها از تفاضل‌گیری بین وضعیت حاکم در اجرای بدون دریاچه و اجرای مرجع تهیه گردیده‌اند.

نتایج و بحث

- بررسی بارش‌های فصلی در سواحل جنوبی دریای خزر

برای بررسی و مشخص کردن نقش و تأثیر دریای خزر بر وقوع بارش‌های سواحل جنوبی آن، مدل در دو حالت یعنی شرایط مرجع (با دریاچه) و شرایط حذف دریای خزر به اجرا در آمد. در این بخش به منظور نشان دادن نقش دریای خزر در شبیه‌سازی انجام شده، وضعیت بارش منطقه‌ای در شرایط حذف دریای خزر در قیاس با شرایط مرجع با انجام تفاضل‌گیری مورد بررسی قرار گرفت تا تعییرات زمانی و مکانی بارش حاصل از تفاضل‌گیری بیانگر نقش دریای خزر بر بارش‌های منطقه باشد. با تفاضل‌گیری بارش‌های فصلی، آنچنان که شکل ۳-۲ نشان می‌دهد، در صورت حذف دریای خزر، کاهش عمومی را در میزان بارش فصل پاییز بر روی کل منطقه خزری شاهد خواهیم بود. در این میان، میزان کاهش بارش در حاشیه جنوبی دریای خزر از آستارا تا شرق گرگان چشمگیرتر از سایر مناطق بوده، به‌طوری که به شکل کمربند پیوسته‌ای از بیشینه مقادیر منفی (بیشینه کاهش بارش) در منطقه خودنمایی می‌کند. به‌طور کلی با توجه به شبیه‌سازی انجام شده، مقدار کاهش بارش در منطقه آستارا و تالش به میزان ۲۴۰ تا ۳۲۰ میلی متر، در منطقه رشت-انزلی و ارتفاعات البرز غربی به ترتیب حدود ۳۴۰، ۲۶۰ تا ۲۰۰ میلی متر، در منطقه چالوس-نوشهر و ارتفاعات البرز مرکزی به ترتیب حدود ۲۴۰، ۲۰ و ۱۶۰ میلی متر، و در سواحل جنوب شرق دریای خزر از منطقه بابلسر، بابل و قائم شهر تا گرگان حدود ۲۶۰، ۱۴۰ و ۱۰۰ میلی متر کاهش یافته است. همچنین مقدار بارش‌ها در شمال غرب ایران بالاتر از عرض ۳۹ درجه شمالی در منطقه پارس آباد اردبیل،

✓ تحلیل خروجی‌های مدل

با استفاده از داده‌های بارش دوره ۳ ساله، مقادیر متوسط بارش فصلی به تفکیک برای شرایط مرجع و شرایط حذف دریای خزر برای هر فصل به صورت نقشه تهیه شد. در عین حال صحت سنجی داده‌های بارش مدل، با بهره‌گیری از داده‌های بارش ایستگاه سینوپتیک رشت و مقایسه آن با داده‌های بارش خروجی مدل برای همان مختصات در مقیاس روزانه و ماهانه به انجام رسید.

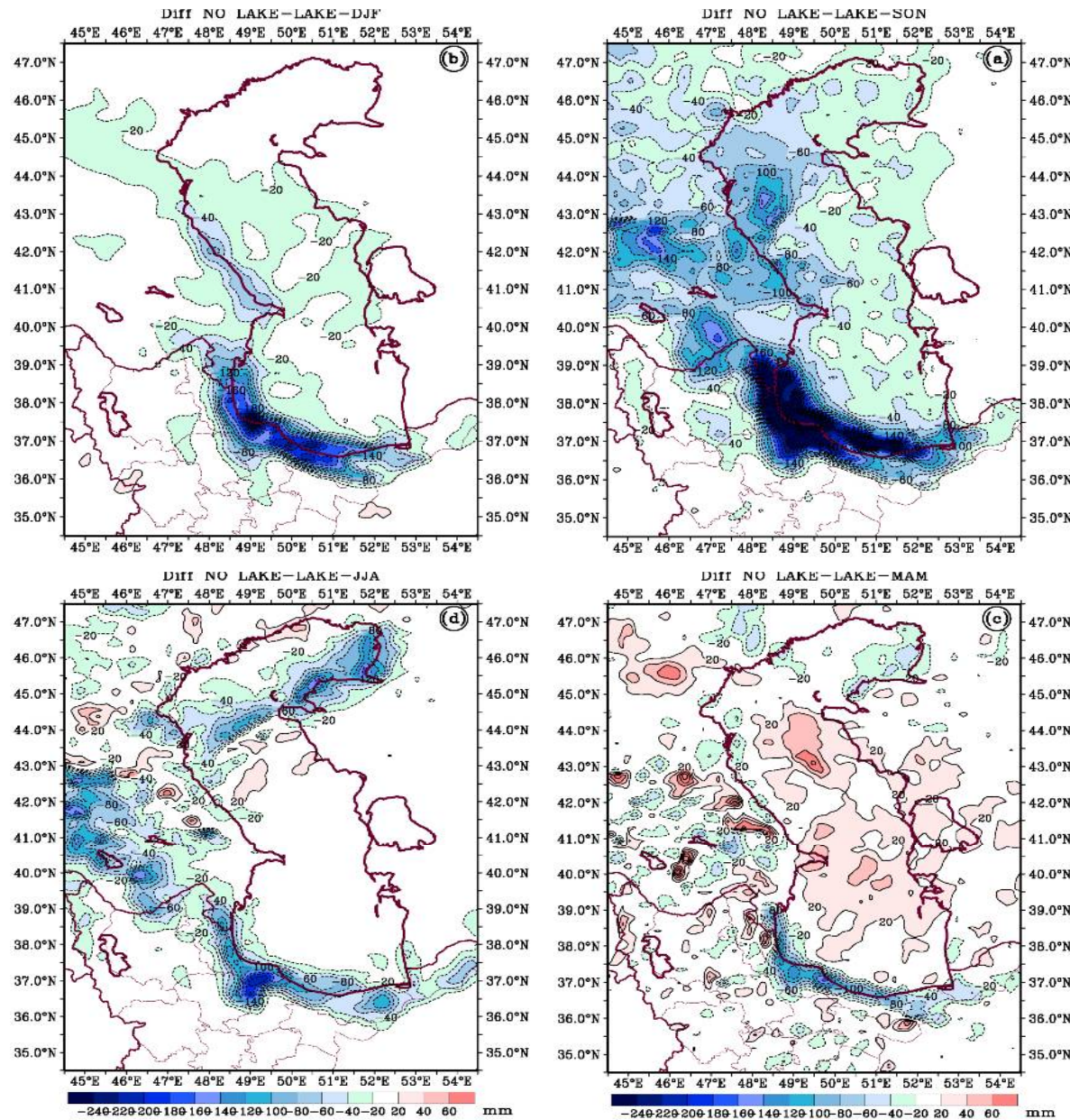
در ادامه و جهت انجام مطالعات دقیق‌تر در رابطه با نقش دریای خزر بر روی بارش‌های سواحل جنوبی آن، تعداد ۳۰ روز با آستانه شدت باد زیاد (۳۰ کیلومتر در ساعت و بالاتر) و ۳۰ روز با آستانه شدت باد متوسط (حدفاصل ۱۰ تا ۱۵ کیلومتر در ساعت) از روزهای پاییزی دوره مطالعه، که در عین حال منطقه خزری هم زمان بارش را تجربه نموده است، استخراج شد. لازم به ذکر است که آستانه‌های سرعت یاد شده بر اساس مطالعه سرعت متوسط منطقه‌ای باد در تراز ۱۰۰۰ هکتوپاسکال بر روی کل دریای خزر حاصل گردیده است. دلیل انتخاب فصل پاییز نیز نقش بسیار مهمی است که این دوره از سال در بارش‌های سواحل جنوبی دریای خزر دارد. از آنجایی که هدف این قسمت از مطالعه فراهم نمودن درک مناسب‌تری از ویژگی‌های فیزیکی، ترمودینامیکی و همچنین ساختار منطقه‌ای گردش جو در منطقه خزری در زمان وقوع بادهای شدید و متوسط بوده است، به همین جهت روزهایی انتخاب گردید که در عین حال جهت باد غالب در ترازهای زیرین جو بر روی دریای خزر شمالی بوده است. متغیرهای استفاده شده در این مرحله عیناً مشابه متغیرهای به کار گرفته شده در بخش بررسی‌های فصلی بوده و شرایط غالب در اجرای مرجع و بدون دریاچه مورد بررسی و مقایسه قرار گرفت. در این مرحله از تحقیق، جهت شناسایی میزان نقش دریای خزر بر بارش‌های خزری، با معیار قرار دادن آستانه‌های شدت باد، وضعیت بارش، مؤلفه باد نصف‌النهاری، دمای سطحی، شارگرمای محسوس، نم ویژه، تبخیر و بارش در شرایط مرجع و بدون دریاچه مورد مقایسه قرار گرفت. بررسی یادشده، نحوه برهمنکش دریا و جو در منطقه خزری و

جغرافیا و آمایش شهری- منطقه‌ای، سال ششم، شماره ۱۸، بهار ۱۳۹۵

۱۰۰ میلی متر، در منطقه بابلسر، قائمشهر و ساری به ترتیب حدود ۶۰، ۸۰ و ۴۰ میلی متر و در منطقه گرگان حدود ۲۰ میلی متر خواهد بود. نکته جالب توجه شکل یاد شده، افزایش مقادیر بارش منطقه‌ای (هرچند یه شکل محدود)، در بخش‌هایی از منطقه خزری پس از حذف دریای خزر در فصل بهار است. شاید بتوان افزایش بارش یاد شده در بخش‌های میانی و همچنین برخی از مناطق خشکی واقع در شمال و شرق این دریا را بدین شکل تبیین نمود که با حذف دریای خزر، دیگر دمای سطح آب دریای خزر (سرمايش سطحی در بهار)، به عنوان یک سازوکار درجهت کاهش بارش منطقه‌ای عمل نخواهد نمود.

کلیبر، اهر و جلفا در استان آذربایجان شرقی ۴۰ تا ۱۲۰ میلی متر کاهش یافته است. تفاضل‌گیری‌ها بیانگر آن است که منطقه ارتفاعات قفقاز و سواحل غربی دریای خزر پس از سواحل جنوبی بیشترین مقادیر کاهش بارش را در فصل پاییز تجربه می‌کند. نکته جالب توجه آنکه، مناطق واقع در جانب شمالی و شرقی دریای خزر، تفاوت محسوس و قابل ذکری را در صورت حذف دریای خزر در بارش‌های پاییزی خود تجربه نخواهند نمود. الگوی یاد شده می‌تواند نقش بسیار مهم جریانات شمال-شمال شرقی در وقوع بارش‌های پاییزی منطقه خزری را بازگو نماید. به نظر می‌رسد وجود و یا عدم وجود این تیپ از جریانات و برهمکنش آن با دریای خزر در ماهیت بارش‌های پاییزی بخش‌های شرقی و شمالی دریای خزری تاثیری نداشته باشد.

شکل ۳-۶ وضعیت متوسط بارش‌های فصل زمستان را با تفاضل‌گیری بارش بین شرایط حذف دریای خزر و شرایط مرجع نشان می‌دهد. همچون الگوی پاییزی بیشینه مقادیر کاهش بارش به شکل کمربند پیوسته‌ای در سواحل جنوبی دریای خزر مشاهده می‌شود. با توجه به شکل، مقدار بارش در منطقه آستارا و دامنه شرقی تالش حدود ۱۸۰ تا ۲۲۰ میلی متر، در منطقه انزلی و رشت حدود ۲۴۰ میلی متر، در منطقه چالوس- نوشهر و دامنه شمالی و جنوبی البرز میانی حدود ۲۰۰ تا ۲۲۰ میلی متر، در منطقه بابلسر و قائم شهر حدود ۸۰ تا ۱۴۰ میلی متر، در منطقه ساری حدود ۶۰ و گرگان حدود ۲۰ میلی متر کاهش یافته است. همچنین مقدار بارش در سواحل غربی دریای خزر از عرض ۴۰ درجه شمالی به بالا بین ۴۰ تا ۱۰۰ میلی متر کاهش یافته است. شکل ۳-۶ وضعیت متوسط بارش‌های فصل بهار را پس از انجام تفاضل‌گیری نشان می‌دهد. با توجه به شکل، در صورت حذف دریای خزر، مقدار بارش در این فصل نیز به شکل کمربندی در سواحل جنوبی دریای خزر کاهش پیدا خواهد نمود. مقدار کاهش در منطقه آستارا و دامنه‌های شرقی ارتفاعات تالش بین ۲۰ تا ۴۰ میلی متر، در منطقه انزلی و رشت و ارتفاعات البرز غربی تا ۱۰۰ میلی متر، در منطقه نوشهر- چالوس و دامنه شمالی البرز مرکزی حدود



شکل ۳: تفاوت بارش فصلی در منطقه خزری حاصل از نفاضل گیری بارش بین شرایط حذف دریای خزر و شرایط مرجع. شکل‌ها با متوسط‌گیری مجموع بارش فصلی برای یک دوره سه ساله (۲۰۰۳، ۲۰۰۴ و ۲۰۰۵) تهیه شده‌اند. (a) پاییز، (b) زمستان، (c) بهار و (d) تابستان.

منبع: نگارندگان

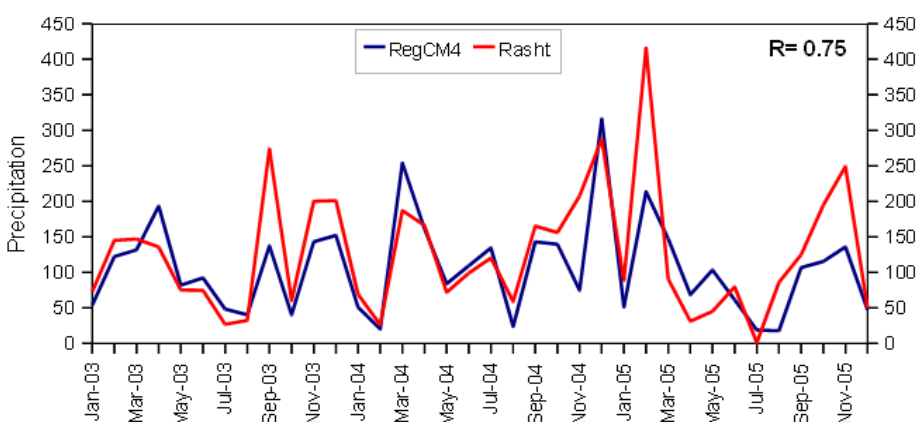
هسته‌های کاهشی دیگری نیز در شمال دریای خزر و ارتفاعات قفقاز در غرب دریای خزر مشاهده می‌شود. به منظور اعتبار سنجی مقادیر بارش شبیه‌سازی شده توسط مدل RegCM4، با توجه به نبود داده‌های رقومی بارش با کیفیت و ارزش بالا از منطقه مورد مطالعه، از داده‌های بارش ایستگاهی (داده‌های نقطه‌ای) برای انجام اعتبار سنجی استفاده شد. به همین جهت داده‌های بارش خروجی مدل در نزدیکترین نقطه شبکه به ایستگاه

شکل ۳-d تفاصل گیری بارش‌های فصلی را برای فصل تابستان نشان می‌دهد. در این شکل نیز با حذف دریای خزر، بارش به شکل کمربند پیوسته همراه با هسته‌های کمینه در سواحل جنوبی دریای خزر کاهش یافته است. مقدار بارش در منطقه آسترا و ارتفاعات تالش حدود ۱۰۰ میلی متر، در منطقه رشت و انزلی و ارتفاعات البرز غربی بین ۱۰۰ تا ۱۶۰ میلی متر، در منطقه نوشهر-چالوس ۸۰ میلی متر، در منطقه ساری ۸۰ میلی متر و در منطقه گرگان ۶۰ میلی متر کاهش پیدا نموده است.

جغرافیا و آمیش شهری- منطقه‌ای، سال ششم، شماره ۱۸، بهار ۱۳۹۵

پیوسته در ایستگاه رشت دارد. به طوریکه میزان همبستگی داده‌ها به ۰.۷۵ بالغ می‌گردد. اگر چه مدل برای ماههای پاییزی (سپتامبر تا نوامبر) و برخی از ماههای بهاری به ترتیب اریب‌های منفی (بارش کمتر) و مثبت (بارش بیشتر) کوچکی را نشان می‌دهد؛ اما در کل، نتایج قابل قبول بوده و در واقع مدل توانسته است روند و مقدار بارش‌های ماهانه را به خوبی شبیه‌سازی نماید (شکل ۴).

سینوپتیک رشت با داده‌های بارش ماهانه به ثبت رسیده در ایستگاه رشت برای سال‌های شبیه‌سازی شده (۲۰۰۳، ۲۰۰۴ و ۲۰۰۵) مقایسه گردید. شکل ۴ مجموع بارش ماهانه در مختصات ایستگاه رشت را برای سه سال یاد شده نشان می‌دهد. مقایسه دو نمودار (دو خط قرمز و آبی)، بیانگر آن است که به طور کلی مقادیر و روند بارش ماهانه شبیه‌سازی شده توسط مدل، انطباق خوبی با بارش بوقوع



شکل ۴: مجموع بارش ماهانه برآورد شده توسط مدل (خط آبی) و بارش در ایستگاه رشت (خط قرمز) برای دوره مطالعه.
منبع: نگارندگان

تفکیک در زمان تسلط بادهای شمالی با شدت زیاد و بادهای شمالی با شدت متوسط برای مؤلفه نصفالنهاری باد، دمای سطح زمین، شارگرمای محسوس، تبخیر، نم ویژه و بارش، مورد مقایسه و تجزیه و تحلیل قرار خواهد گرفت.

✓ مؤلفه نصفالنهاری باد

شکل ۵-a وضعیت متوسط مؤلفه نصفالنهاری باد را در تراز ۹۱۰ هکتوباسکال پس از تفاضل‌گیری شرایط حذف دریا با شرایط مرجع و در حالتی که بر روی منطقه خزری بادهای شمالی شدید غلبه دارند، نشان می‌دهد. با توجه به شکل، در زمان وقوع بادهای شمالی شدید، با حذف دریای خزر، شدت باد شمالی به طور محسوسی بر روی کل دریا کاهش می‌یابد (مقادیر مثبت بیانگر تضعیف باد شمالی است). در این رابطه بیشینه کاهش شدت باد در نیمه جنوبی و غربی دریا مشاهده می‌گردد. به طوری که در منتهی‌الیه جنوب غربی دریا میزان کاهش شدت باد به ۸ تا ۱۰ کیلومتر در ساعت بالغ می‌شود. شکل ۵-b وضعیت یاد شده را در زمان وقوع بادهای شمالی با شدت

- بررسی خصوصیات فیزیکی دریای خزر در زمان وقوع بادهای شمالی شدید و متوسط پاییزه در این بخش، نقش دریای خزر بر بارش‌های منطقه خزری از طریق مطالعه برخی از متغیرهای فیزیکی مهم مورد بررسی قرار خواهد گرفت. در سرتاسر این بخش خصوصیات فیزیکی دریای خزر و نقش منطقه‌ای آن با این شروط مورد ارزیابی قرار خواهد گرفت که بارش در منطقه خزری به وقوع پیوسته و در عین حال به طور هم زمان بادهای شمالی با شدت‌های متوسط و یا زیاد بر روی دریای خزر تسلط داشته‌اند. این معیارها بر این اساس لحاظ گردید که یک پیکره آبی آن هم در مقیاس زمانی روزانه، عمدتاً از طریق فرارفت افقی هوا مناطق حاشیه‌ای را از خود متأثر می‌سازد. برای این منظور تعداد ۳۰ روز دارای باد شمالی با شدت زیاد و تعداد ۳۰ روز باد شمالی با شدت متوسط از فصل پاییز انتخاب گردید. بدین ترتیب در این بخش، نقشه‌های حاصل از تفاضل‌گیری بین شرایط حذف دریا و شرایط مرجع به

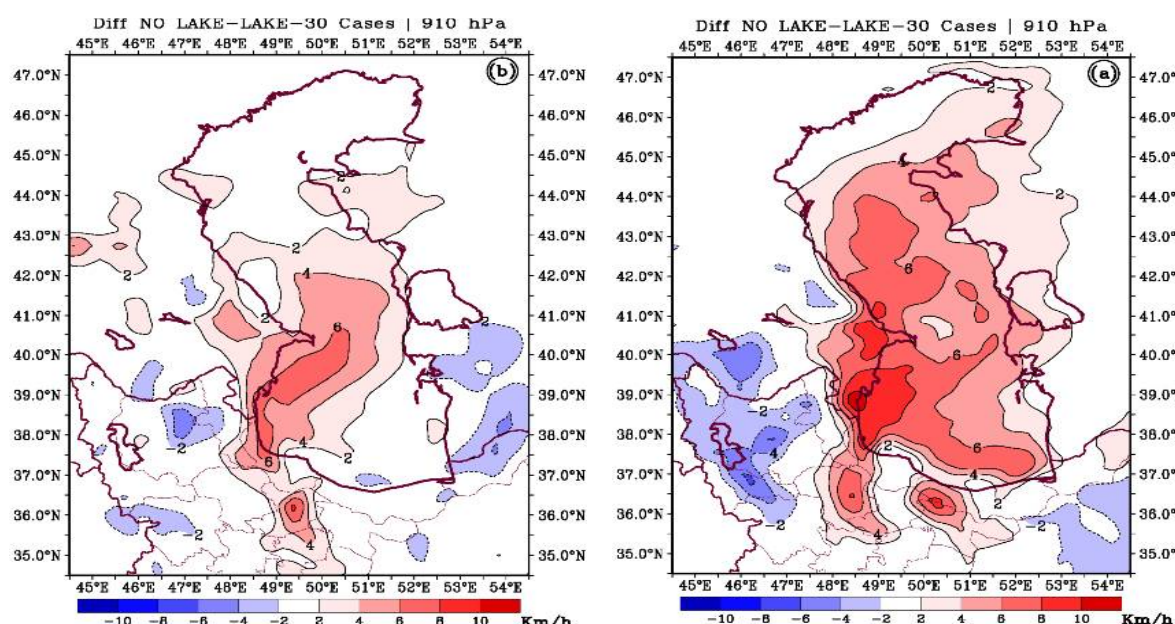
محسوس بر روی دریا و افزایش قابل ملاحظه آن را بر سواحل جنوبی و جنوب غربی در پی خواهد داشت. مقایسه دو شکل ۶-a و ۶-b نیز که به ترتیب برای بادهای شمالی با شدت زیاد و متوسط تهیه گردیده‌اند، بیانگر آن است که تغییرات شدت باد شمالی، از طریق تغییر در برهمکنش فیزیکی بین دریا و هوا میزان شار گرمای محسوس را بر روی دریای خزر تغییر می‌دهد؛ به عبارتی، حذف دریای خزر در زمان تسلط بادهای شمالی شدیدتر اثرات منطقه‌ای گستردگرتری را در مقادیر شار گرمای محسوس، در قیاس با زمان تسلط بادهای با شدت کمتر، به همراه دارد. به این ترتیب که میزان شار گرمای محسوس در زمان وقوع بادهای شدید بر روی نیمه غربی دریا تا مقدار ۶۰ وات بر مترمربع کاهش و بر روی سواحل جنوب غربی تا حدود ۵۰ وات افزایش می‌یابد. در مقابل، حذف دریای خزر همراه با تسلط بادهای شمالی با شدت کمتر، موجب افزایش شار گرمای محسوس بر روی کل منطقه، از جمله سطح دریای خزر می‌گردد. در این شرایط بیشینه گرمایش در ساحل جنوب غربی دریای خزر با بیشینه ۷۰ وات بر متر مربع مشاهده می‌شود (شکل ۶-b).

شبیه‌سازی نقش دریای خزر بر وقوع بارش‌های منطقه‌ای در سواحل

متوسط نشان می‌دهد. با در نظر گرفتن شکل ۵-b و مقایسه آن با شکل ۵-a، با کاهش شدت باد شمالی میزان نقش و تأثیر منطقه‌ای دریای خزر نیز کاهش می‌یابد؛ به عبارتی، میزان نقش و تأثیر منطقه‌ای دریای خزر تابعی از شدت باد بر روی دریای خزر است. بر این اساس، با حذف دریای خزر در زمان وقوع بادهای شمالی با شدت متوسط، مقادیر عددی ناهنجاری بادها کمتر بوده و در عین حال بادها در یک گستره فضایی کوچکتر و محدودتری ناهنجاری را تجربه می‌کنند. بدین ترتیب دریای خزر در زمان وقوع بادهای شدیدتر نقش منطقه‌ای بیشتر و گستردگرتری در قیاس با زمان وقوع بادهای با شدت کمتر دارد. نتیجه کلی این که، هر چقدر شدت باد شمالی در ترازهای زیرین جو بر روی دریای خزر کاهش یابد، میزان تأثیرگذاری منطقه‌ای دریای خزر نیز کاهش خواهد یافت.

✓ شار گرمای محسوس

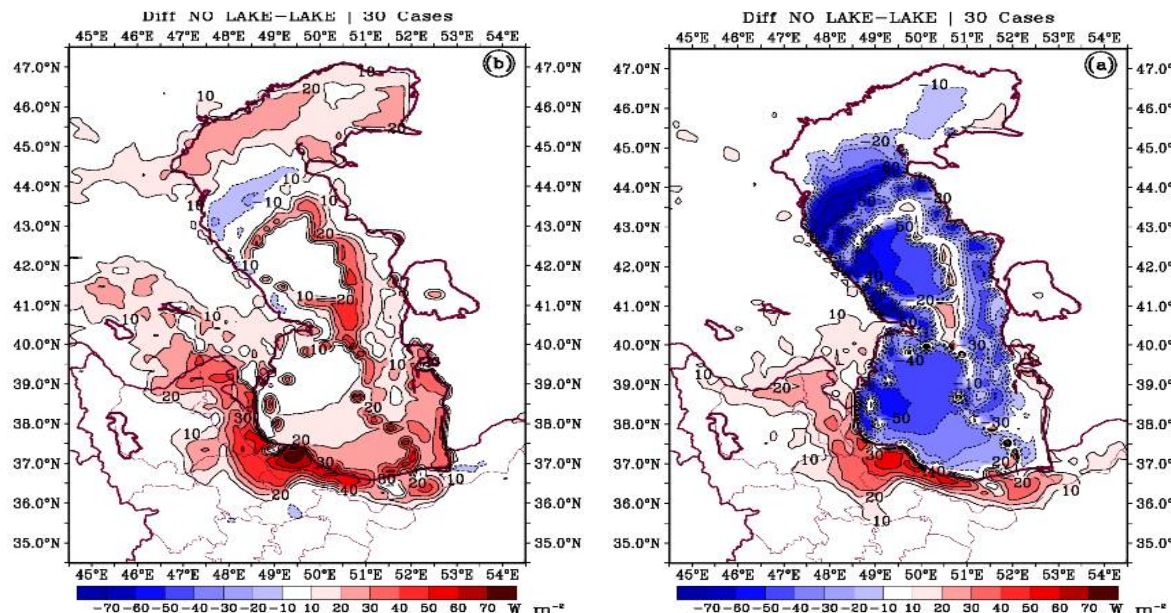
شکل ۶ وضعیت متوسط شار گرمای محسوس حاصل از تفاضل گیری بین شرایط حذف دریای خزر و شرایط مرجع را نشان می‌دهد. بررسی شکل مبین آنست که حذف دریای خزر، کاهش چشمگیر مقادیر شار گرمای



شکل ۵: وضعیت متوسط مؤلفه نصف‌النهاری باد (Km/h)، تفاضل گیری شده بین شرایط حذف دریا و شرایط مرجع در تراز ۹۱۰ ه.پ. (a) وضعیت متوسط در زمان وقوع بادهای شمالی شدید. (b) وضعیت متوسط در زمان وقوع بادهای شمالی با شدت متوسط.
منبع: نگارندگان)

جغرافیا و آمیش شهری- منطقه‌ای، سال ششم، شماره ۱۸، بهار ۱۳۹۵

طريق تغيير در بر همکنش فيزيکي بين دريا و هوا ميزان دمای سطحي را بر روی دريا تغيير خواهد داد. به اين ترتيب که بخش اعظم دريای خزر در زمان وقوع بادهای شدید، کاهش دمایي بيش از 7°C را تجربه می‌کند. اين در حالی است که در زمان تسلط بادهای با شدت کمتر، کاهش عمومی دما بر روی دريا به طور متوسط حدود 4°C بوده و بيشينه کاهش بر روی دريا به حدود 7°C بالغ می‌گردد.



شكل ۶: وضعیت متوسط شارگرمای محسوس (W/m^2). (a) تفاضل گیری شده بین شرایط حذف دریای خزر و شرایط مرجع. (b) وضعیت متوسط در زمان وقوع بادهای شمالی شدید. (b) وضعیت متوسط در زمان وقوع بادهای شمالی با شدت متوسط.

(منبع: نگارندگان)

شدید بيش از زمان تسلط بادهای با شدت کمتر است. در زمان تسلط بادهای شدید، بيشينه کاهش تبخیر در حوضچه جنوبی خزر حدود ۲ تا ۳ کيلوگرم برمتر مربع بيشتر از زمانی است که بادهای ضعيفتر بر روی دريا تسلط دارند (شکل a-۸ و b-۸).

نم ويزه

شکل ۹ متوسط نم ويزه حاصل از تفاضل گيری شرایط حذف دریای خزر و شرایط مرجع را در زمان وقوع بادهای شدید و کم شدت نشان می‌دهد. همچون ساير متغيرهای مورد بررسی، مقادير متوسط نم ويزه نيز با حذف دریای خزر بر روی دريا و مناطق اطراف آن کاهش

✓ دمای سطح زمین

شکل ۷ وضعیت متوسط دمای سطح زمین حاصل از تفاضل گیری بين شرایط حذف دریای خزر و شرایط مرجع را نشان می‌دهد. نتایج بيانگر آن است که حذف دریای خزر، کاهش مشخص و چشمگیر ميزان دما بر روی دریای خزر را در پی خواهد داشت. مقایسه دو شکل a-۷ و b-۷ نيز که به ترتیب برای بادهای شمالی با شدت زياد و متوسط تهيه گردیده‌اند، بيانگر آن است که تغييرات شدت باد شمالی از

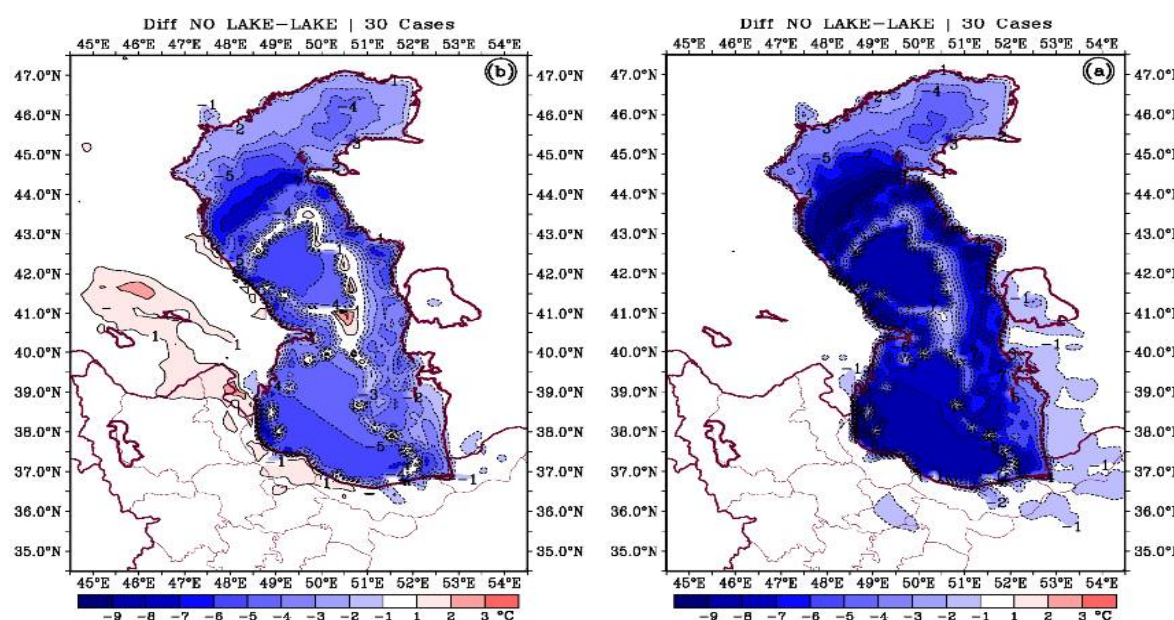
✓ ميزان تبخیر از سطح دريا

شکل ۸ وضعیت متوسط تبخیر از سطح دريا حاصل از تفاضل گیری بين شرایط حذف دریای خزر و شرایط مرجع را نشان می‌دهد. شکل مبين آن است که حذف دریای خزر، کاهش چشمگیر مقدار تبخیر از سطح دريا را در پی خواهد داشت. مقایسه دو شکل a-۸ و b-۸ نيز که به ترتیب برای بادهای شمالی با شدت زياد و متوسط تهيه گردیده‌اند، بيانگر آن است که بادهای شمالی شدیدتر در قياس با بادهای شمالی کم شدت‌تر به نسبت بيشتری تبخیر از سطح دريا را افزایش می‌دهند؛ به همين دليل، پس از حذف دریای خزر، ناهنجاري‌های منفي مقادير تبخير از روی دريا در زمان تسلط بادهای

متاثر می‌گردد. مقایسه شکل ۹ با شکل‌های ۷، ۶ و ۸ به خوبی مؤید این واقعیت است. در مقابل، تغییرات شدت باد بر روی دریای خزر، در قیاس با سایر متغیرهای مورد مطالعه، تغییرات کوچکتری را در مقادیر نم ویژه و الگوی فضایی توزیع آن موجب می‌شود (شکل ۹-a و ۹-b).

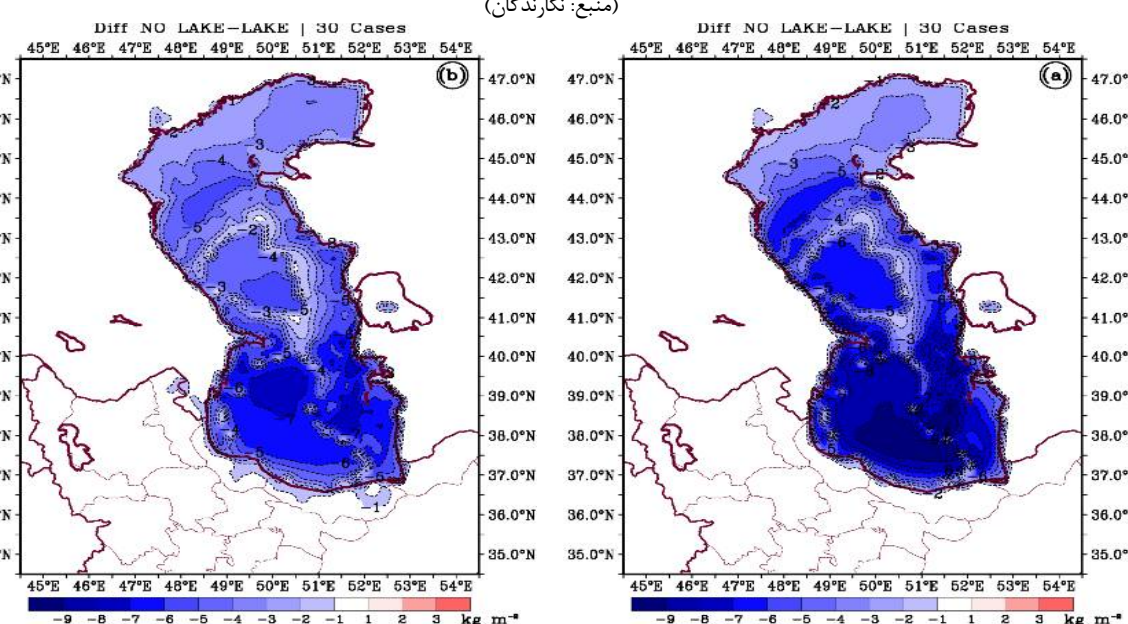
شبیه‌سازی نقش دریای خزر بر موقعیت بارش‌های منطقه‌ای در سواحل

یافته است. در قیاس با متغیرهایی چون دما، تبخیر و شار گرمای محسوس، با حذف دریای خزر، نم ویژه در یک محدوده وسیع‌تر و به شکل گستردگتری کاهش را تجربه می‌کند؛ به عبارتی دیگر، در مقایسه با متغیرهای فوق الذکر، نم ویژه در مقیاس افقی گستردگتری از دریای خزر



شکل ۷: وضعیت متوسط دمای سطح زمین ($^{\circ}\text{C}$) تفاضل گیری شده بین شرایط حذف دریای خزر و شرایط مرجع. (a) وضعیت متوسط در زمان وقوع بادهای شمالی شدید. (b) وضعیت متوسط در زمان وقوع بادهای شمالی با شدت متوسط.

(منبع: نگارندگان)



شکل ۸: وضعیت متوسط میزان تبخیر از سطح دریا (Kg/m^2). تفاضل گیری شده بین شرایط حذف دریای خزر و شرایط مرجع. (a) وضعیت متوسط در زمان وقوع بادهای شمالی شدید. (b) وضعیت متوسط در زمان وقوع بادهای شمالی با شدت متوسط.

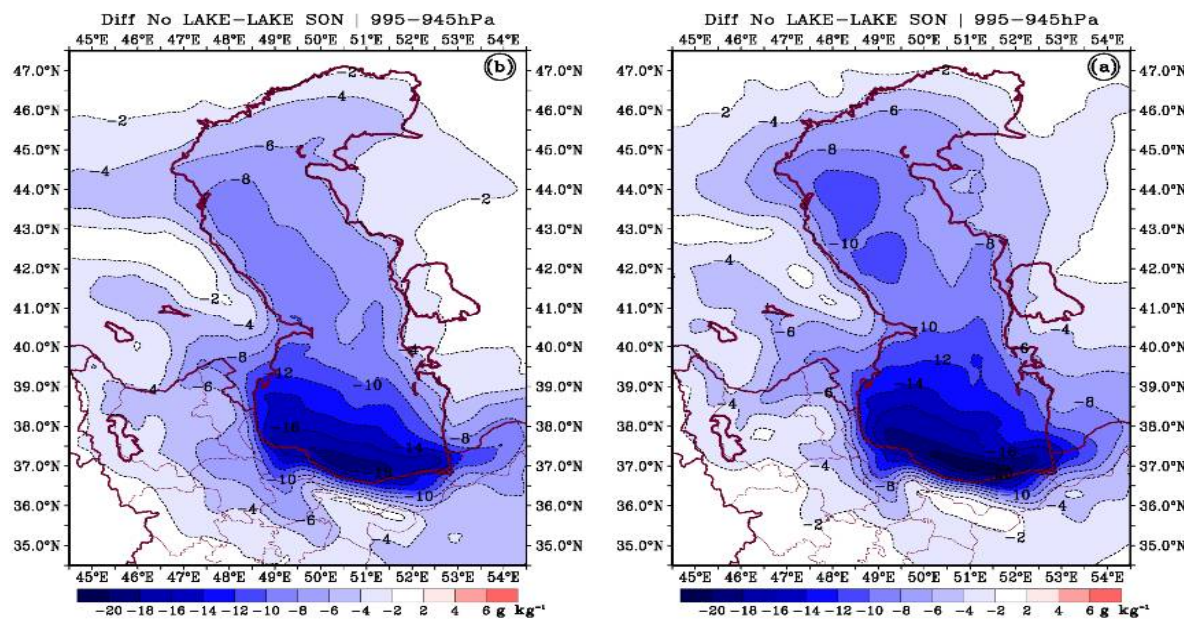
(منبع: نگارندگان)

جغرافیا و آمیش شهری- منطقه‌ای، سال ششم، شماره ۱۸، بهار ۱۳۹۵

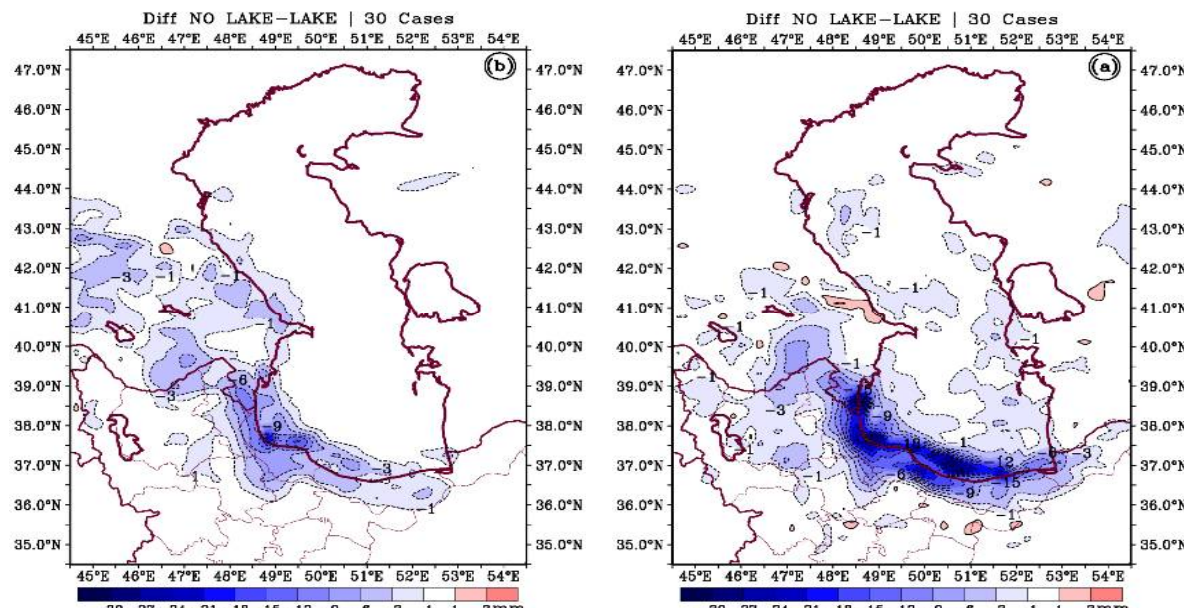
دریا، بر شدت و گستردگی وقوع بارش در مناطق واقع در جنوب، جنوب غرب و غرب دریا افزوده می‌شود. نتیجه کلی آن که، با حذف دریای خزر یک کاهش عمومی در مقادیر بارش مناطق واقع در قطاع‌های جنوبی و غربی دریا به وقوع خواهد پیوست. بیشینه کاهش در سواحل جنوبی دریای خزر و در حدفاصل سواحل مرکزی مازندران تا آستانه مشاهده می‌گردد.

✓ بارش

شکل ۱۰ وضعیت متوسط بارش حاصل از تفاضل‌گیری بین شرایط حذف دریای خزر و شرایط مرجع را در زمان وقوع بادهای شمالی شدید و کم شدت نشان می‌دهد. شکل‌های ۱۰- a و ۱۰- b به وضوح بیانگر آن هستند که مقدار بارش و الگوی فضایی توزیع آن در سواحل جنوبی دریای خزر با تغییرات شدت باد بر روی این دریا در ارتباط است. به طوری که با افزایش شدت باد بر روی



شکل ۹: وضعیت متوسط نم ویژه (g/kg) تفاضل‌گیری شده بین شرایط حذف دریای خزر و شرایط مرجع. (a) وضعیت متوسط نم ویژه در زمان وقوع بادهای شمالی شدید. (b) وضعیت متوسط نم ویژه در زمان وقوع بادهای شمالی شدید.
(منبع: نگارندگان)



شکل ۱۰: وضعیت متوسط بارش (mm) تفاضل‌گیری شده بین شرایط حذف دریا و شرایط مرجع. (a) وضعیت متوسط بارش در زمان وقوع بادهای شمالی شدید. (b) وضعیت متوسط در زمان وقوع بادهای شمالی با شدت متوسط.
(منبع: نگارندگان)

- به منظور اعتبار سنجی نتایج مدل‌سازی، بارش ماهانه ایستگاه رشت با بارش خروجی مدل مقایسه شد. نتایج نشان دهنده آن است که به طور کلی مدل مقدار و روند بارش‌های ماهانه را به خوبی شبیه‌سازی نموده است. اگر چه مدل برای ماههای پاییزی و برخی از ماههای بهاری به ترتیب اریب‌های منفی و مثبت کوچکی را نشان می‌دهد، اما در کل، نتایج قابل قبول بوده و در واقع مدل RegCM4 توانسته است روند و مقدار بارش‌های ماهانه را به خوبی شبیه‌سازی نماید.

- نتایج شبیه‌سازی انجام شده بیانگر آن است که بارش و توزیع فضایی آن در منطقه خزری به‌طور آشکاری از وضعیت جریان هوا بر روی دریای خزر تبعیت می‌نماید. نتایج بررسی خصوصیات فیزیکی دریای خزر در زمان وقوع بادهای شدید و متوسط پاییزه، نشان می‌دهد که تغییرات شدت باد شمالی از طریق تغییر در برهمنکش فیزیکی بین دریا و هوا، میزان نقش و تأثیر فیزیکی دریای خزر را تغییر می‌دهد. به عبارتی حذف دریای خزر در زمان تسلط بادهای شمالی شدید، اثرات منطقه‌ای گسترده‌تری را در قیاس با زمان تسلط بادهای با شدت کمتر به همراه خواهد داشت. یافته‌ها نشان دهنده آن است که حذف دریای خزر، با کاهش شدت باد شمالی، شارگرمای محسوس، دمای سطح زمین، تبخیر از سطح دریا و در نهایت کاهش مقادیر نم ویژه و بارش همراه خواهد بود. نتیجه کلی این که هر چقدر شدت باد شمالی در ترازهای زیرین جو بر روی دریای خزر کاهش یابد، میزان تأثیرگذاری منطقه‌ای دریای خزر نیز کاهش خواهد یافت.

منابع

باباییان، ایمان؛ کریمیان، مریم؛ مدیریان، راحله؛ حبیبی نوخدان، مجید (۱۳۸۶). شبیه‌سازی بارش ماههای سرد سال ۱۳۷۶ و ۱۳۷۹ با استفاده از مدل اقلیمی RegCM، مجله جغرافیا و توسعه، شماره ۵۵، ص ۵۵-۷۲.

براتی، غلامرضا؛ عاشوری، فاطمه (۱۳۸۶). طراحی الگوهای همدیدی شدیترین بادهای کرانه‌های جنوبی دریای خزر (سال‌های ۱۳۶۸-۱۳۶۹)، مجله پژوهش‌های جغرافیایی، شماره ۶۲، ص ۸۰-۶۲.

جانبازقبادی، غلامرضا؛ مفیدی، عباس؛ زرین، آذر (۱۳۹۰). شناسایی

نتیجه‌گیری

در این مطالعه نحوه تأثیر دریای خزر بر بارش‌های منطقه‌ای با استفاده از مدل اقلیمی RegCM4 جفت شده با مدل دریاچه مورد بررسی قرار گرفت. بررسی انجام شده نتایج زیر را در پی داشته است:

- یافته‌های مدل‌سازی بارش فصلی برای سواحل جنوبی دریای خزر نشان می‌دهد که با تفاضل‌گیری شرایط حذف دریای خزر از شرایط مرجع، بارش به شکل کمربند پیوسته‌ای در تمامی مناطق واقع در حاشیه جنوبی دریای خزر از آستانه ایستارا تا شرق گرگان و ارتفاعات تالش و البرز کاهش پیدا می‌کند.

- نتایج بیانگر آن است که وجود دریای خزر بیش از هر جایی بر ویژگی‌های بارشی سواحل جنوبی آن تأثیرگذار است؛ چرا که بیشترین میزان کاهش بارش پس از حذف دریای خزر مربوط به ساحل جنوبی آن است. همچنین میزان تأثیرگذاری دریای خزر بنا به فصل سال متفاوت است. نتایج تحقیق بیانگر آن است که دریای خزر بیشترین میزان تأثیر منطقه‌ای خود را به ترتیب در فصول پاییز و زمستان بر مناطق اطراف خود بر جای می‌گذارد. در مقابل، نقش منطقه‌ای دریای خزر در فصل بهار و تابستان به حداقل میزان خود می‌رسد. در عین حال، در صورت حذف دریای خزر مناطق واقع در محدوده سواحل جنوب غرب و جنوب دریا بیش از هرجای دیگر با کاهش بارش مواجه خواهند شد.

- یافته‌های تحقیق همچنین مبین آن است که مناطق واقع در جانب شمالی و شرقی دریای خزر، تفاوت محسوس و قابل ذکری را در صورت حذف دریای خزر در بارش‌های خود تجربه نخواهند نمود. مشاهده بیشینه تأثیر دریای خزر بر بارش‌های سواحل جنوبی و جنوب غربی و کمینه تأثیر بر سواحل شمالی و شرقی، حکایت از آن دارد که میزان تأثیرگذاری منطقه‌ای دریای خزر بیش از هر چیزی با رژیم باد در مقیاس منطقه‌ای در ارتباط است. بر این اساس استقرار جریانات شمالی و تغییرات شدت آن، بیشترین تأثیر منطقه‌ای دریا را بر بارش‌های سواحل جنوبی و جنوب غربی به همراه دارد.

جغرافیا و آمیش شهری- منطقه‌ای، سال ششم، شماره ۱۸، بهار ۱۳۹۵

- (2011). Regional Climatic Model RegCM User Manual version 4.1, The Abdus Salam International Centre for Theoretical Physics, 32 pp.
- Giorgi, F; Coppola, E; Solmon, F; Mariotti, L; Sylla, M. B; Bi, X; Elguindi, N; Diro, G. T; Nair, V; Giuliani, G; Turuncoglu, U. U; Cozzini, S; Güttler, I; O'Brien, T.A; Tawfik, A.B; Shalaby, A; Zakey, A.S; Steiner, A.L; Stordal, F; Sloan, L.C; Brankovic, C (2012). RegCM4: Model description and preliminary tests over multiple CORDEX domains, *Climate Res.*, 52, 7–29. Doi:10.3354/cr01018.
- Hostetler, S.W; and Bartlein, P.J (1990). Simulation of lake evaporation with application to modeling lake level variations of Harney-Malheur Lake, Oregon, *Water Resour. Res.*, 26, 2603-2612.
- Hostetler, S.W; Bates, G.T; Giorgi, F (1993). Interactive coupling of a lake thermal model with a regional climate model, *J. Geophys. Res.* 98, 5045-5057.
- Kalnay, E; Kanamitsu, M; Kistler, R; Collins, W; Deaven, D; Gandin, L; Iredell, M; Saha, S; White, G; Woollen, J; Zhu, Y; Leetmaa, A; Reynolds, R; Chelliah, M; Ebisuzaki, W; Higgins, W; Janowiak, J; Mo, K.C; Ropelewski, C; Wang, J; Jenne, R; and Joseph, D (1996). The NCEP/NCAR 40-year reanalysis project, *Bull. Amer. Meteor. Soc.*, 77, 437-471.
- Notaro, M; Holman, K; Zarrin, A; Fluck, E; Vavrus, E; and Bennington, V (2013a). Influence of the Laurentian Great Lakes on Regional Climate, *J. Climate*, 26, 789–804. Doi: <http://dx.doi.org/10.1175/JCLI-D-12-00140.1>
- Notaro, M; Zarrin, A; Vavrus, E; and Bennington, V (2013b). Simulation of Heavy Lake-Effect Snowstorms across the Great Lakes Basin by RegCM4: Synoptic Climatology and Variability, *Mon. Wea. Rev.*, 141, 1990-2014. Doi: <http://dx.doi.org/10.1175/MWR-D-11-00369.1>
- Pal, J.S; Giorgi, F; Bi, X; Elguindi, N; Solmon, F; Rauscher, S.A; Gao, X; Francisco, R; Zakey, A; Winter, J; Ashfaq, M; Syed, F.S; Sloan, L.C; Bell, J.L; Diffenbaugh, N.S; Karmacharya, J; Konaré, A; Martinez, D; da Rocha, R.P; and Steiner, A.L (2007). Regional climate modeling for the developing world: The ICTP RegCM3 and RegCNET, *Bull. Amer. Meteor. Soc.*, 88, 1395–1409.
- Reynolds, R.W; Rayner, N.C; Smith, T.M; Stokes, D.C; Wang, W (2002). An Improved In Situ and Satellite SST Analysis for Climate, *J. Climate*, 15, 1609-1625.
- Small, E; Sloan, LC; Hostetler, S; Giorgi, F (1999). Simulating the water balance of the Aral Sea with a coupled regional climate-lake model, *J. Geophys. Res.*, 104 (D6), 6583-6602.
- Vavrus, S; Notaro, M; Zarrin, A (2013b). The Role of Ice Cover in Heavy Lake-Effect Snowstorms over the Great Lakes Basin as Simulated by RegCM4. *Mon. Wea. Rev.*, 141, 148–165. Doi: <http://dx.doi.org/10.1175/MWR-D-12-00107.1>
- الگوهای همدید بارش‌های شدید زمستانه در سواحل جنوبی دریای خزر، مجله جغرافیا و برنامه‌ریزی محیطی، شماره ۲۲ (۲)، صص ۴۰-۲۳.
- خلیلی، علی (۱۳۵۰). منشاً بارندگی کرانه‌های خزری، نیوار، شماره فروردین، صص ۳۹-۴۶.
- خوشحال دست‌تجردی، جواد (۱۳۷۶). تحلیل و ارائه مدل‌های سینوپتیک کلیماتولوژی برای بارش‌های بیش از صد میلیمتر در سواحل جنوبی دریای خزر، رساله دکتری جغرافیای طبیعی، استاد راهنمای دکتر هوشنگ قائمی، دانشگاه تربیت مدرس.
- سلطانزاده، ایمان؛ احمدی گیوی، فرهنگ؛ ایران نژاد، پرویز (۱۳۸۶). بررسی سه ماه تأثیر رشته کوههای زاگرس بر جریان‌های میان مقیاس منطقه شرق زاگرس با استفاده از مدل منطقه RegCM. *مجله فیزیک زمین و فضا*، ۳۳ شماره (۱)، صص ۵۰-۳۱.
- علیجانی، بهلول (۱۳۷۲). مکانیزم صعود و بارندگی ایران، مجله دانشکده ادبیات و علوم انسانی دانشگاه تربیت معلم، دوره جدید (۱)، صص ۱۰۱-۸۵.
- قشقایی، قاسم (۱۳۷۵). بررسی اثر فرابار سیبری بر بارش‌های پیئزی سواحل جنوبی خزر، پایان نامه کارشناسی ارشد جغرافیای طبیعی، استاد راهنمای دکتر بهلول علیجانی، دانشگاه تربیت معلم.
- مرادی، حمیدرضا (۱۳۸۳). نقش دریای خزر در شرایط بارشی سواحل شمال کشور، *مجله علوم و فنون دریایی ایران*، دوره دوم ۲-۳، صص ۸۸-۷۷.
- مفیدی، عباس؛ زرین، آذر؛ جانبازقابادی، غلامرضا (۱۳۸۶). تبیین الگوی همدیدی بارش‌های شدید وحدی پاییزه در سواحل جنوبی دریای خزر، *مجله فیزیک‌زمین و فضا*، شماره ۳۳ (۳)، صص ۱۵۴-۱۳۱.
- مفیدی، عباس؛ زرین، آذر؛ جانبازقابادی، غلامرضا (۱۳۹۱). تبیین علل کاهش یافتن مقدار و شدت بارش‌های زمستانه در قیاس با بارش‌های پاییزه در سواحل جنوبی دریای خزر، *مجله فیزیک‌زمین و فضا*، شماره ۳۸ (۱)، صص ۲۰۳-۱۷۷.
- یوسفی، حسن (۱۳۸۲). زمانیابی ورود پرفشار سیبری به سواحل جنوبی دریای خزر و تأثیر سینوپتیکی آن بر بارش‌های پاییزی منطقه، پایان نامه کارشناسی ارشد جغرافیای طبیعی (گرایش اقلیم شناسی)، استاد راهنمای دکتر قاسم عزیزی، دانشگاه تهران.
- Bozkurt, D; Lutfi sen, D (2011). Precipitation in the Anatolian peninsula: Sensitivity to increased SST in the surrounding seas. *Climate Dyn.*, 36, 711-726.
- Elguindi, N; Bi, X; Giorgi, F; Nagarajan, B; Pal, J; Solmon, F; Rauscher, S; Zakey, A; and Giuliani, G